

Zeitschrift: Eclogae Geologicae Helvetiae
Herausgeber: Schweizerische Geologische Gesellschaft
Band: 66 (1973)
Heft: 3

Artikel: Zur Korrelation von Biozonierungen mit Grossforaminiferen und Nannoplankton im Paläogen der Pyrenäen
Autor: [s.n.]
Anhang: Tafeln
DOI: <https://doi.org/10.5169/seals-164213>

Nutzungsbedingungen

Die ETH-Bibliothek ist die Anbieterin der digitalisierten Zeitschriften auf E-Periodica. Sie besitzt keine Urheberrechte an den Zeitschriften und ist nicht verantwortlich für deren Inhalte. Die Rechte liegen in der Regel bei den Herausgebern beziehungsweise den externen Rechteinhabern. Das Veröffentlichen von Bildern in Print- und Online-Publikationen sowie auf Social Media-Kanälen oder Webseiten ist nur mit vorheriger Genehmigung der Rechteinhaber erlaubt. [Mehr erfahren](#)

Conditions d'utilisation

L'ETH Library est le fournisseur des revues numérisées. Elle ne détient aucun droit d'auteur sur les revues et n'est pas responsable de leur contenu. En règle générale, les droits sont détenus par les éditeurs ou les détenteurs de droits externes. La reproduction d'images dans des publications imprimées ou en ligne ainsi que sur des canaux de médias sociaux ou des sites web n'est autorisée qu'avec l'accord préalable des détenteurs des droits. [En savoir plus](#)

Terms of use

The ETH Library is the provider of the digitised journals. It does not own any copyrights to the journals and is not responsible for their content. The rights usually lie with the publishers or the external rights holders. Publishing images in print and online publications, as well as on social media channels or websites, is only permitted with the prior consent of the rights holders. [Find out more](#)

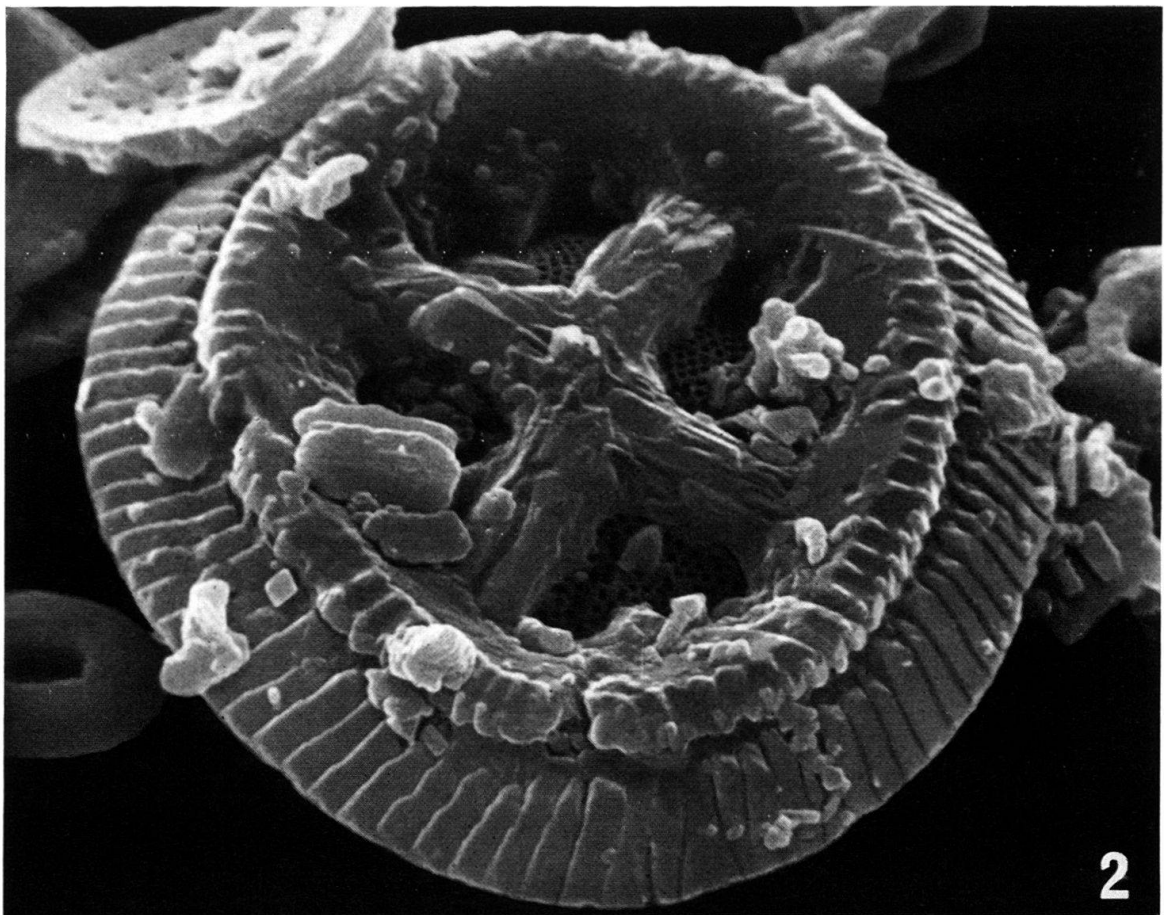
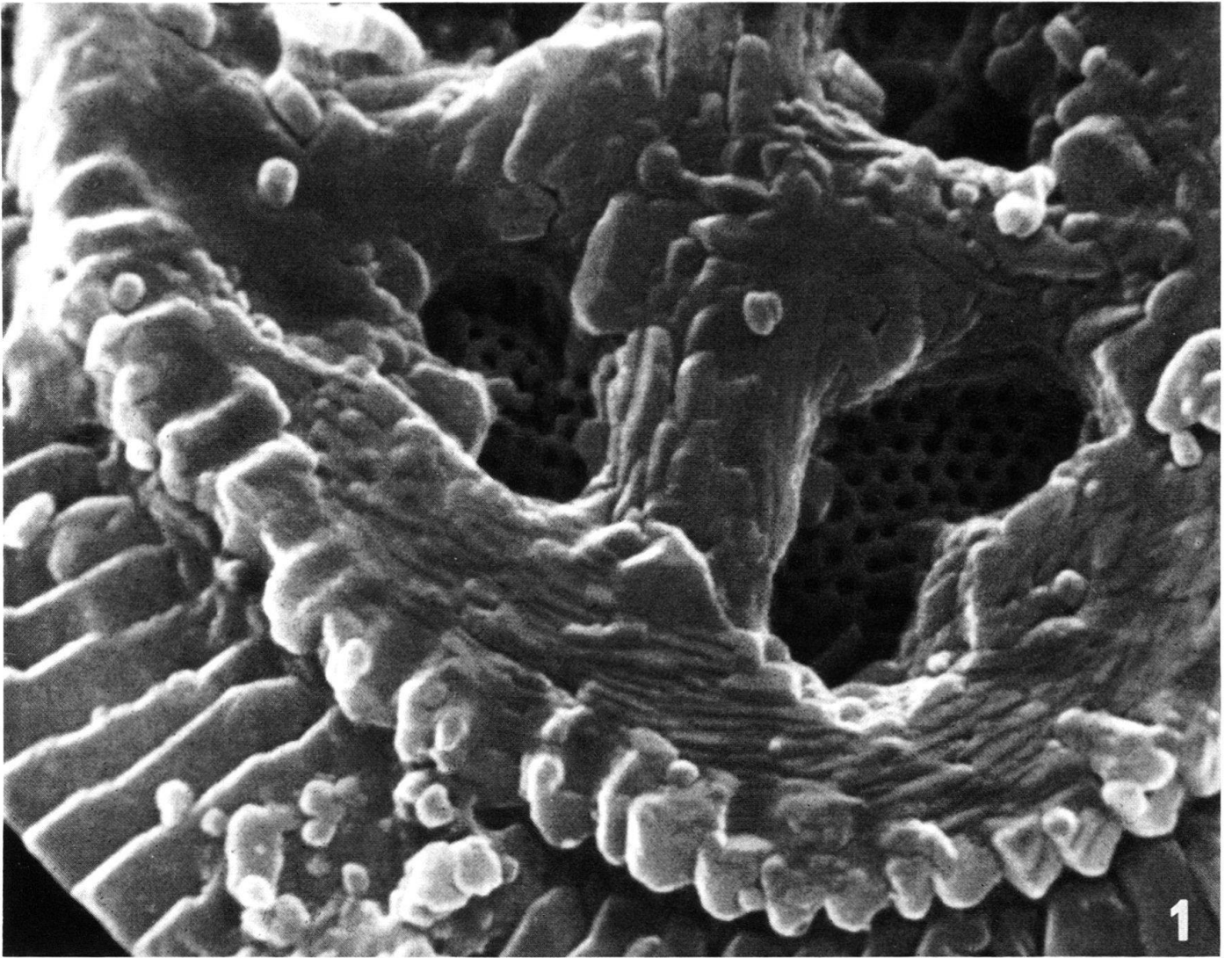
Download PDF: 13.08.2025

ETH-Bibliothek Zürich, E-Periodica, <https://www.e-periodica.ch>

Tafel I

Fig. 1, 2

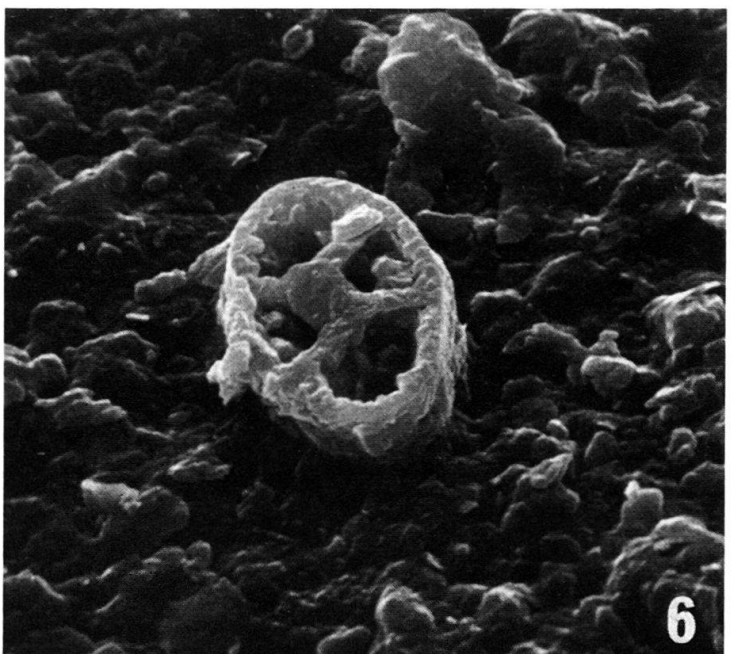
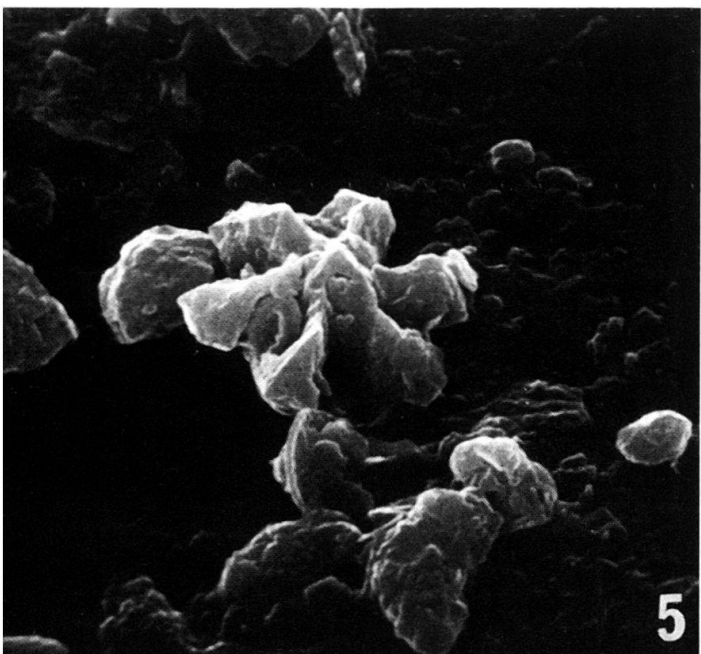
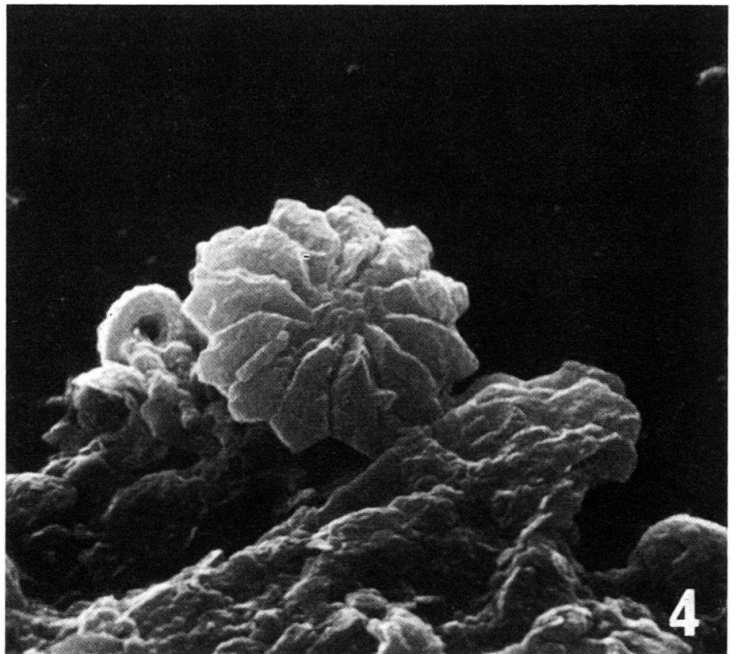
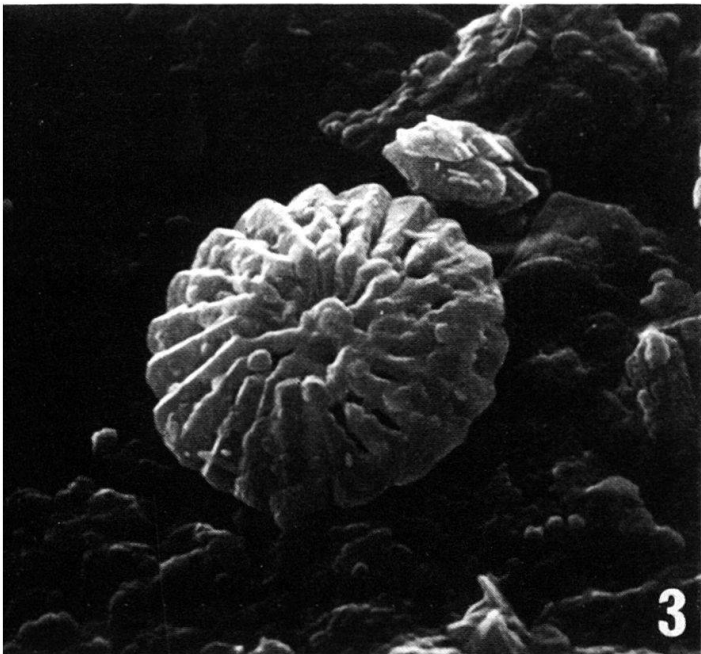
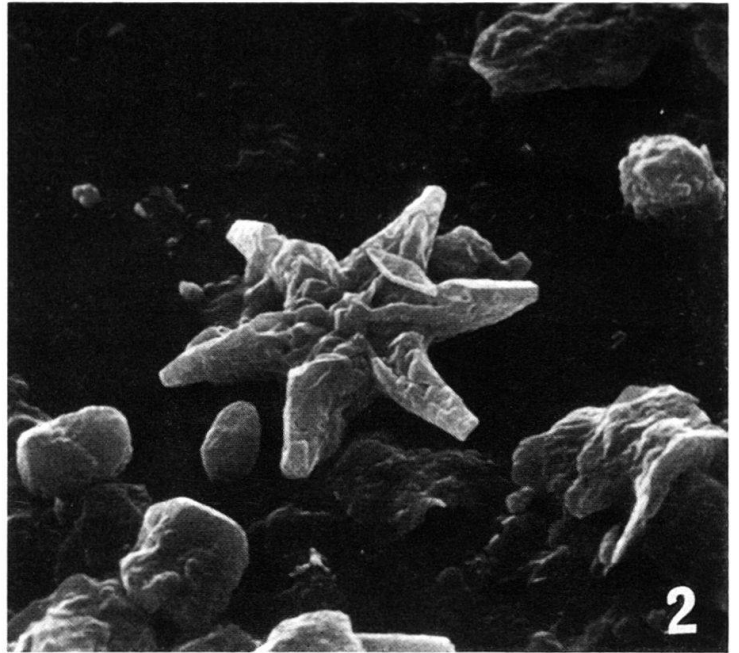
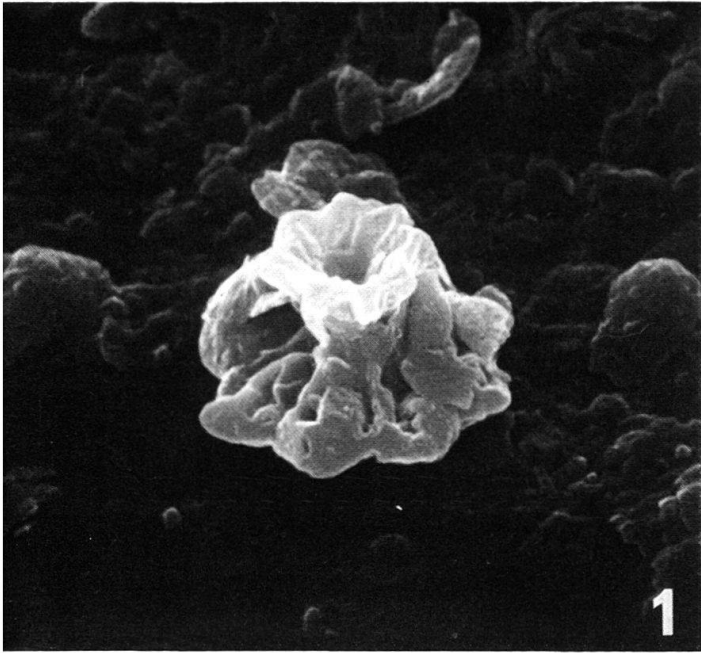
Chiasmolithus grandis (BRAMLETTE et RIEDEL). Mergelfazies von Bos d'Arros, Pyrénées atlantiques (Südwestfrankreich), Zone des *Discoaster lodoensis*: Figur 1: etwa 30000 × ; Figur 2: etwa 12500 × .
Aufnahmen mit «Stereoscan» Mark 2 A.



Tafel II

- Fig. 1 *Discoasteroides kuepperi* (STRADNER). Profil von Gan, Pyrénées atlantiques (Südwestfrankreich): Ziegeleigrube, Zone des *Discoaster lodoensis*: 5000 × .
- Fig. 2 *Discoaster lodoensis* BRAMLETTE et RIEDEL. Mergelfazies von Bos d'Arros, Pyrénées atlantiques: 3100 × .
- Fig. 3 *Discoaster multiradiatus* BRAMLETTE et RIEDEL. Profil von Tresp (Provinz Lerida, Spanien), Probe CK 110–111, Zone der *Alveolina cucumiformis*: 6500 × .
- Fig. 4 *Discoaster barbadiensis* TAN SIN HOK. Profil von Gan, Pyrénées atlantiques: 3200 × .
- Fig. 5 *Discoaster distinctus* MARTINI. Ziegeleigrube von Donzacq (Landes), Marnes de Donzacq, Zone des *Discoaster lodoensis*: 3400 × .
- Fig. 6 *Neococcolithes dubius* (DEFLANDRE). Profil von Gan (Berdoulou), Zone des *Marthasterites tribrachiatus*: 4000 × .

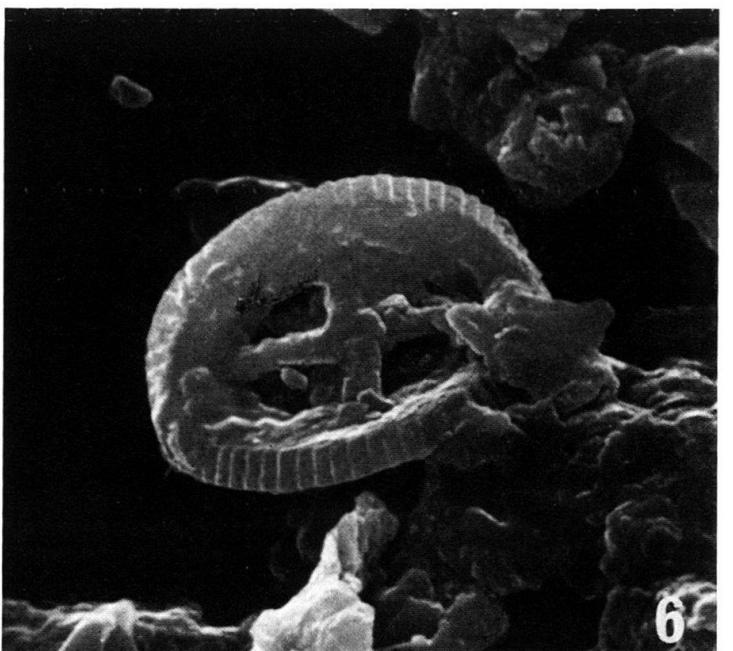
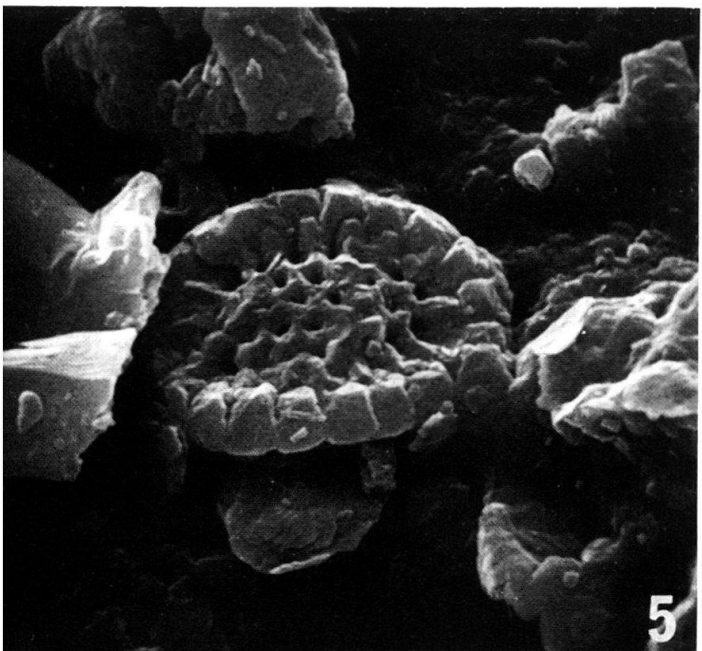
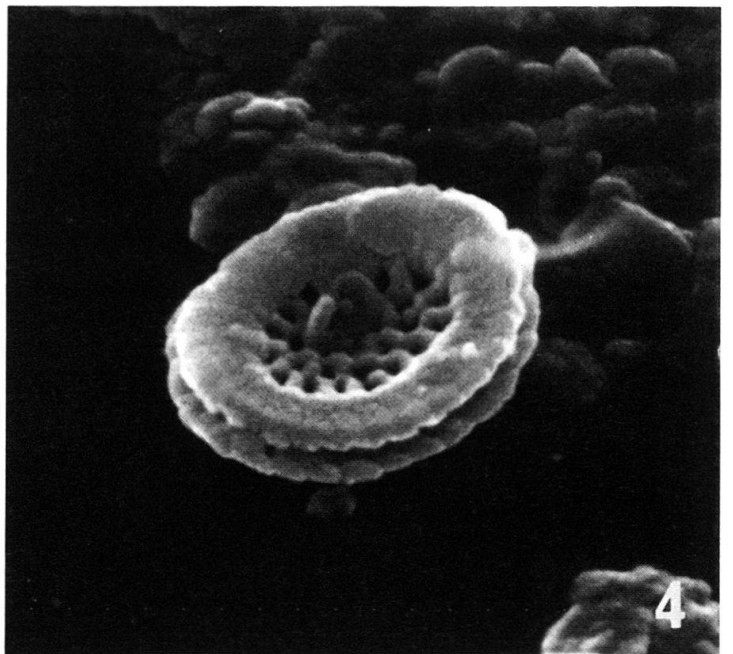
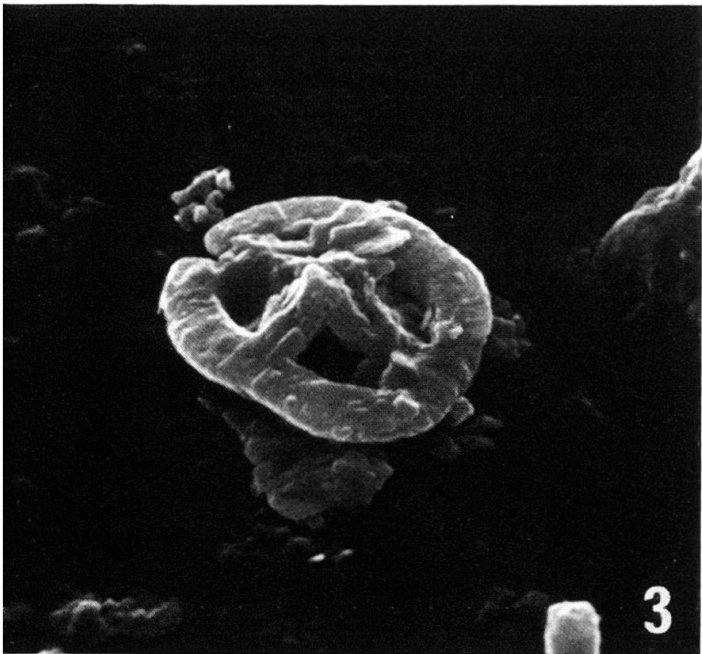
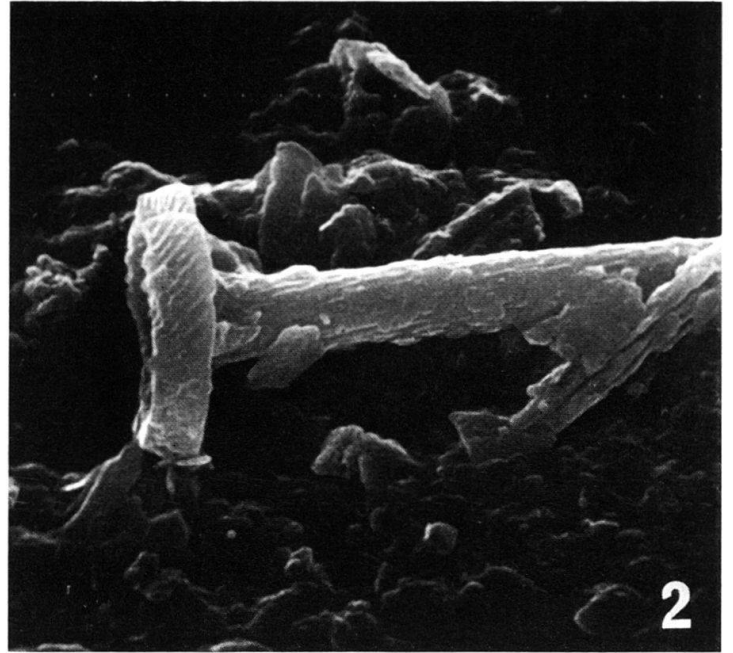
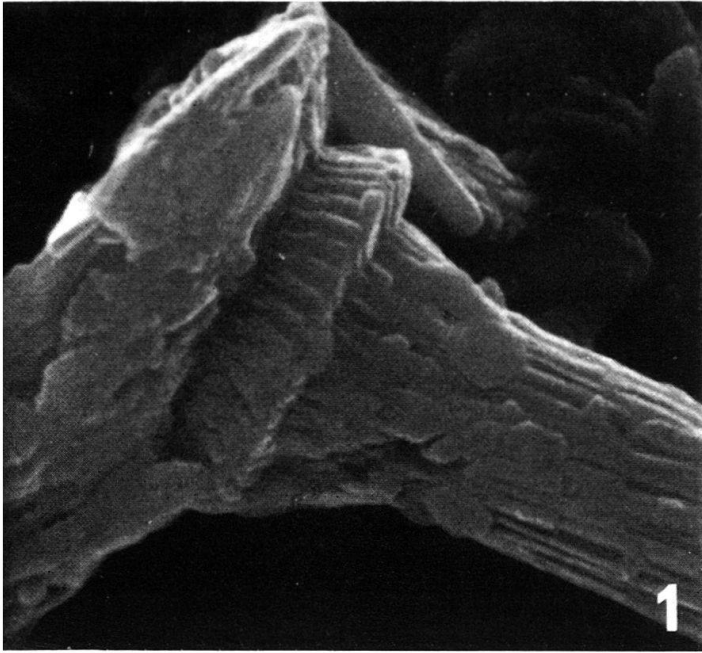
Aufnahmen mit «Stereoscan» Mark 2 A.



Tafel III

- Fig. 1 *Blackites creber* (DEFLANDRE). Mergelfazies von Bos d'Arros, Pyrénées atlantiques: 20000 ×.
- Fig. 2 *Rhabdolithes* sp. Mergelfazies von Bos d'Arros; 5000 ×.
- Fig. 3 *Cyathosphaera crux* (DEFLANDRE et FERT). Ziegeleigrube von Donzacq (Landes), Marnes de Donzacq, Zone des *Discoaster lodoensis*: 6200 ×.
- Fig. 4 *Cyathosphaera* sp., Profil von Gan, Pyrénées atlantiques, Ziegeleigrube, Zone des *Discoaster lodoensis*: 20000 ×.
- Fig. 5 *Cyathosphaera perforata* KAPELLOS. Profil von Gan, Zone des *Discoaster lodoensis*: 5000 ×.
- Fig. 6 *Campylosphaera dela* (BRAMLETTE et SULLIVAN). Mergelfazies von Bos d'Arros: 6000 ×.

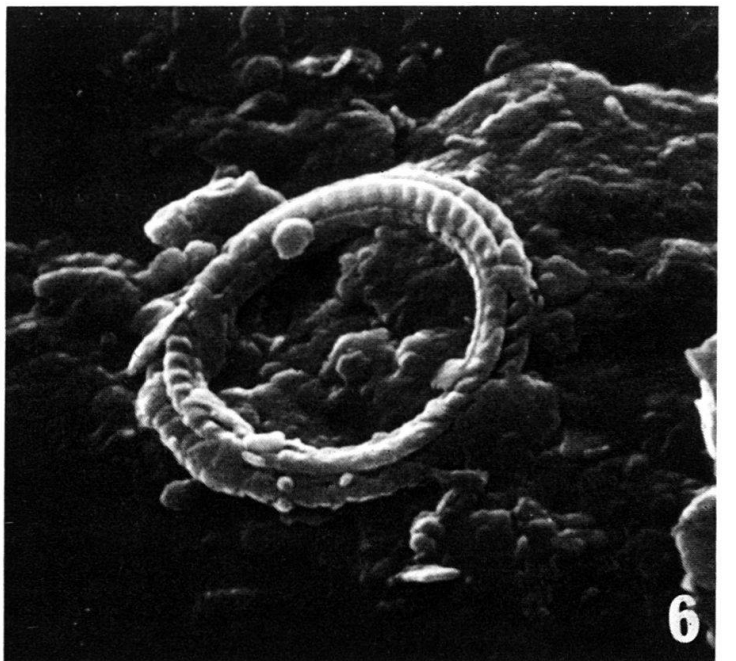
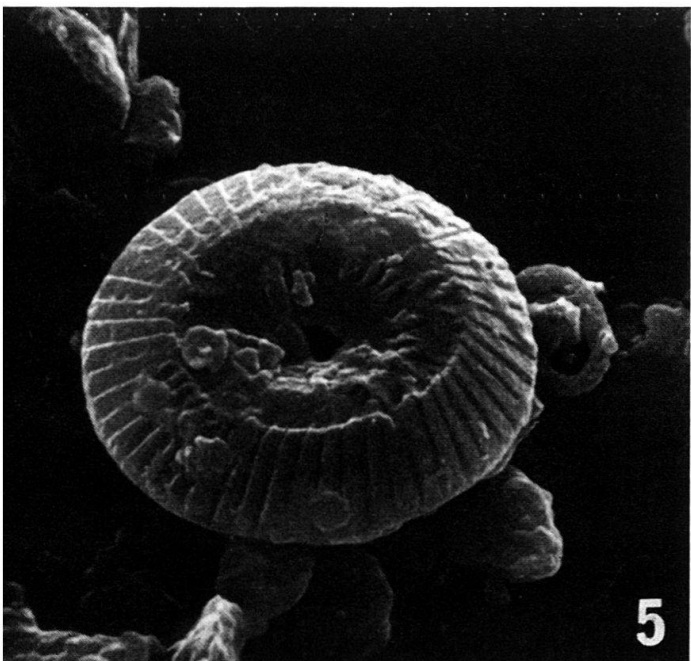
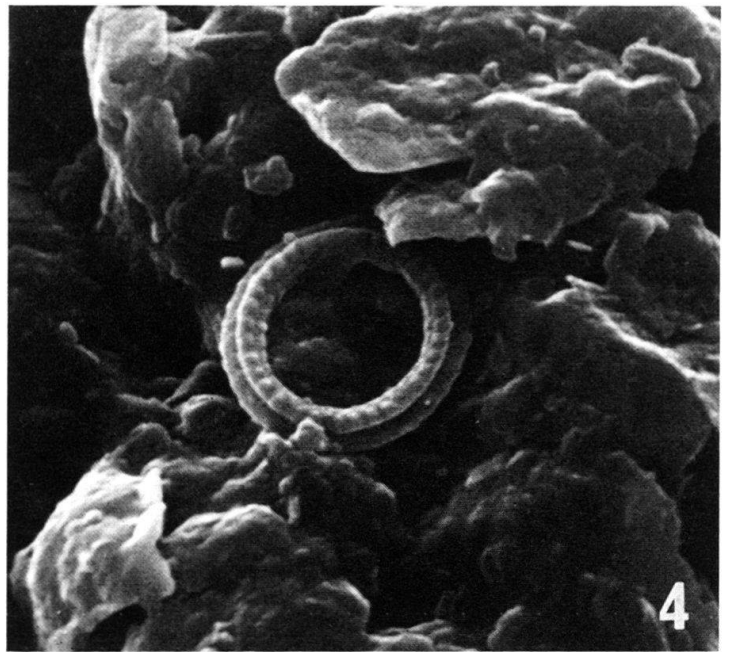
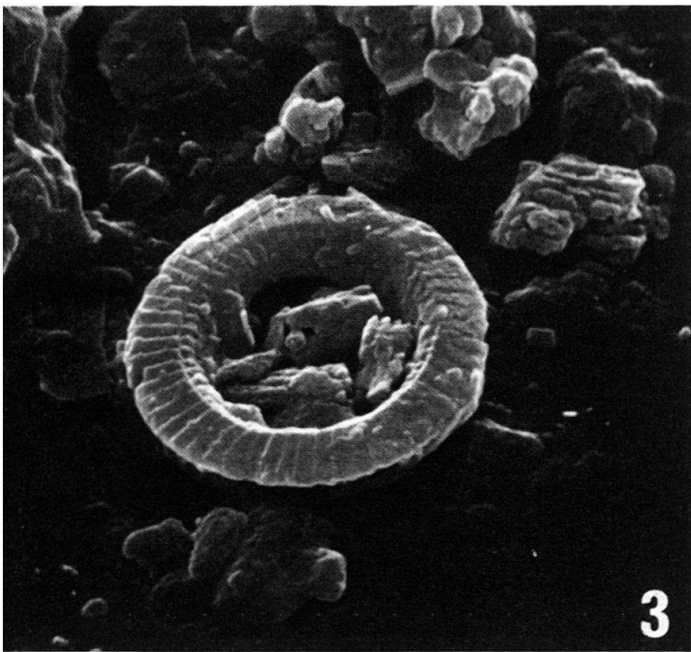
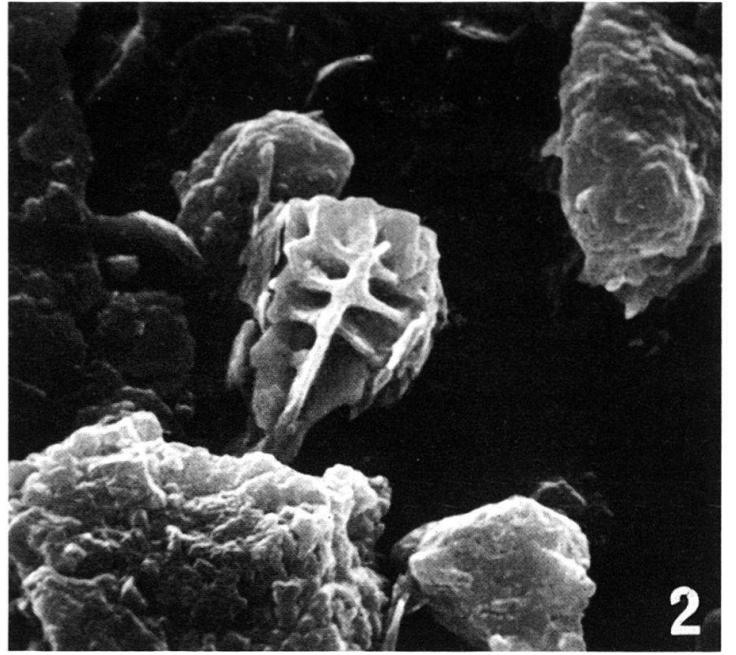
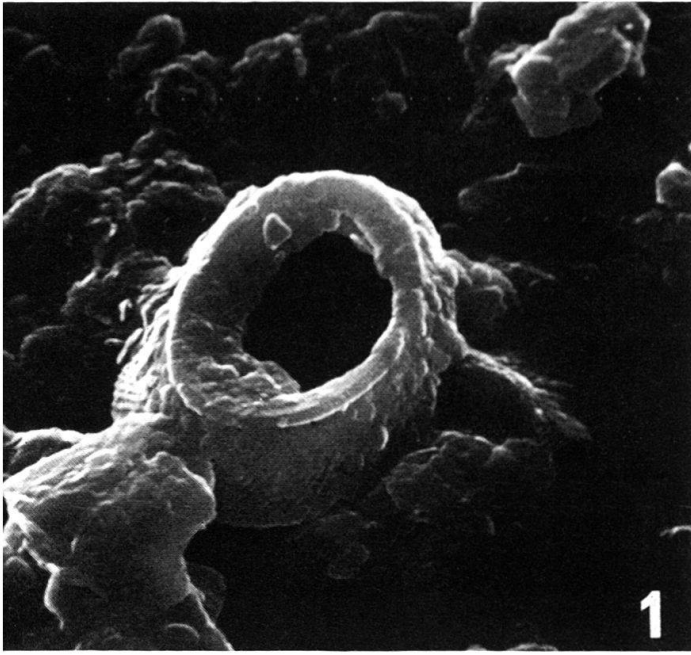
Aufnahmen mit «Stereoscan» Mark 2A.



Tafel IV

- Fig. 1 *Helicopontosphaera ? seminulum* (BRAMLETTE et SULLIVAN). Ziegeleigrube von Donzacq, Marnes de Donzacq: 6500 × .
- Fig. 2 *Sphenolithus radians* DEFLANDRE. Ziegeleigrube von Biron, Zone des *Chiphragmalithus quadratus*: 5000 × .
- Fig. 3 *Cyclolithus* sp. Profil von Gan, Zone des *Discoaster lodoensis*: 5000 × .
- Fig. 4, 6 *Cyclolithus bramletti* HAY et TOWE. Profil von Gan, Zone des *Discoaster lodoensis*, Figur 4: 7000 × ; Figur 6: 10000 × .
- Fig. 5 *Cyathosphaera diaphragma* HAY et TOWE. Ziegeleigrube von Donzacq, Zone des *Discoaster lodoensis*: 6000 × .

Aufnahmen mit «Stereoscan» Mark 2A

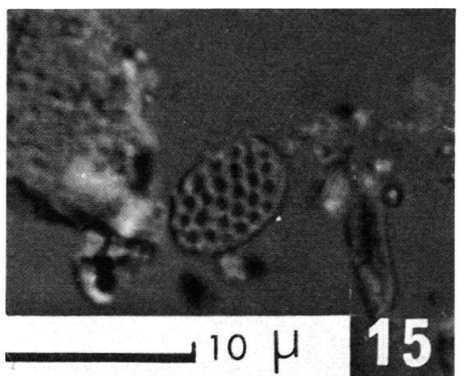
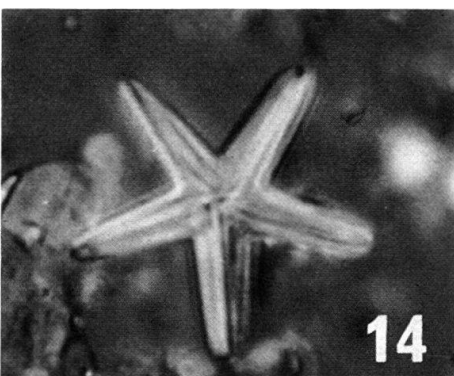
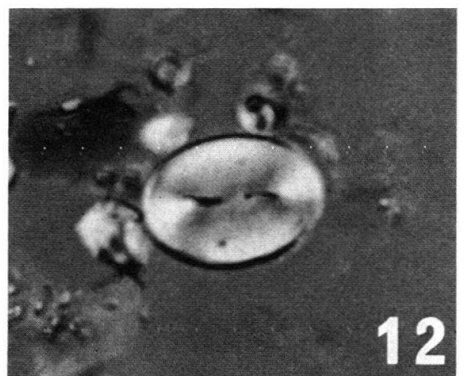
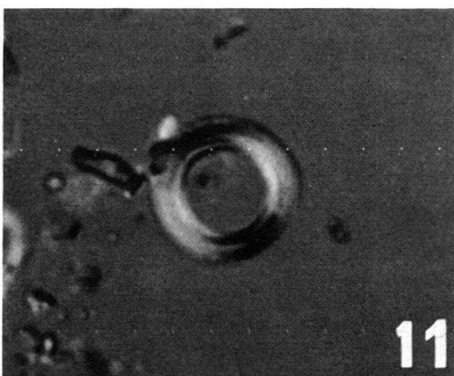
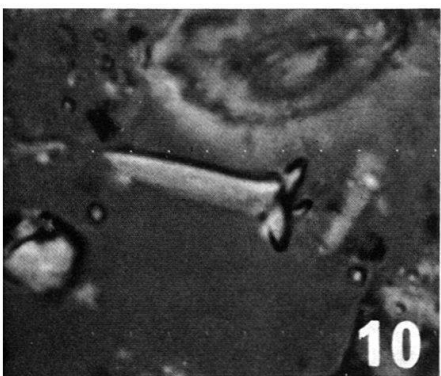
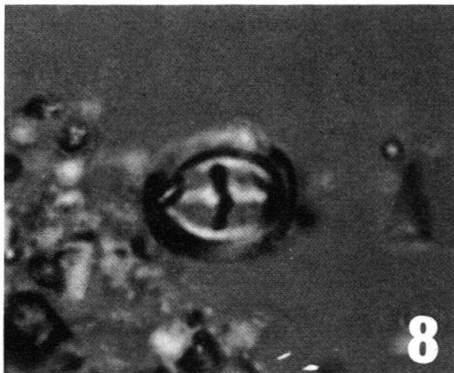
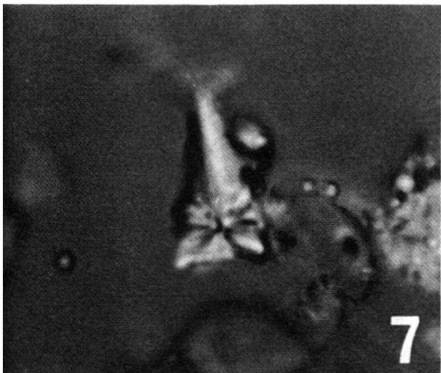
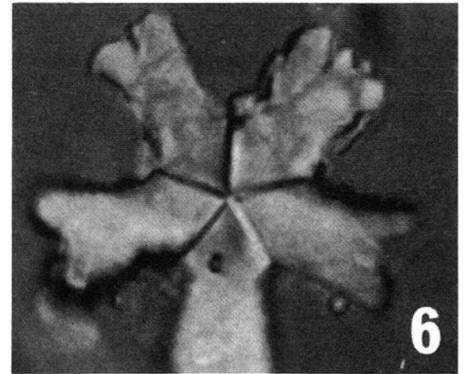
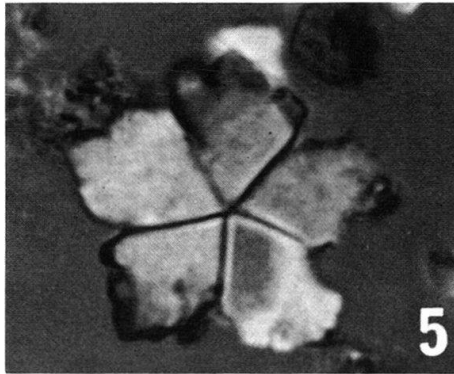
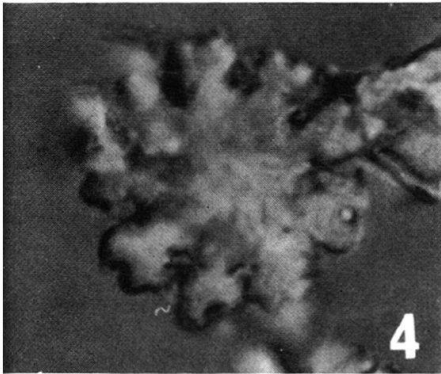
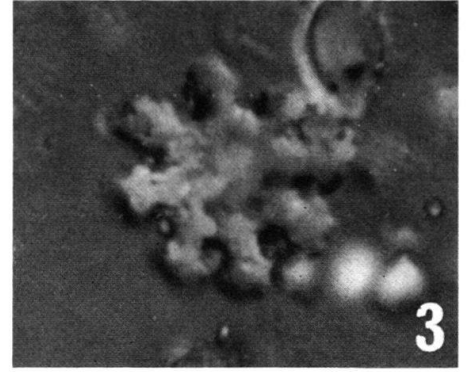
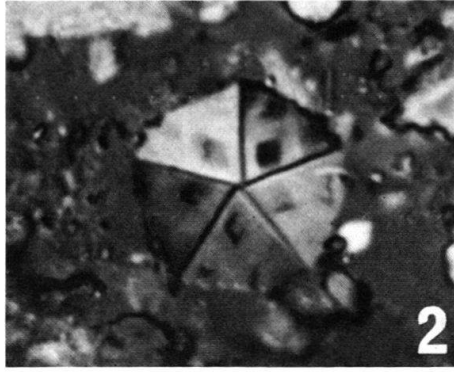
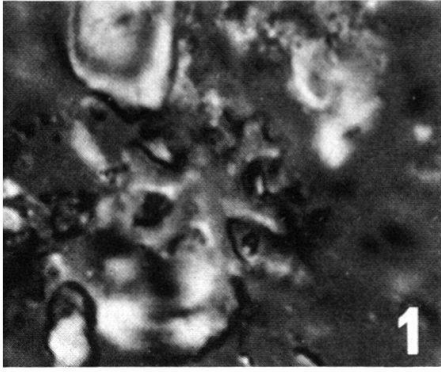


Tafel V

- Fig. 1 *Discoaster deflandrei* BRAMLETTE et RIEDEL. Ziegeleigrube von Biron, Zone des *Chiphragmalithus quadratus*.
- Fig. 2 *Pemma serratum* (CHANG), Ziegeleigrube von Biron, Zone des *Chiphragmalithus quadratus*.
- Fig. 3, 4 *Discoaster distinctus* MARTINI. Profil von Campo (Provinz Huesca) Spanien, Probe CK 43–32, Zone des *Discoaster lodoensis*.
- Fig. 5 *Micrantholithus concinnus* BRAMLETTE et SULLIVAN. Mergelfazies von Bos d'Arros, Zone des *Discoaster lodoensis*.
- Fig. 6 *Micrantholithus tinus* nov. sp. Mergelfazies von Bos d'Arros, Zone des *Discoaster lodoensis*.
- Fig. 7 *Sphenolithus radians* DEFLANDRE. Profil von Campo, Probe CK 69–83, Zone des *Discoaster binodosus*.
- Fig. 8, 9 *Campylosphaera dela* (BRAMLETTE et SULLIVAN). Profil von Campo, Probe CK 69–83, Zone des *Discoaster binodosus*.
- Fig. 10 *Blackites creber* (DEFLANDRE). Profil von Campo, Probe CK 43–32, Zone des *Discoaster lodoensis*.
- Fig. 11 *Cyclolithus bramletti* HAY et TOWE. Mergelfazies von Bos d'Arros, Zone des *Discoaster lodoensis*.
- Fig. 12 *Discolithina plana* (BRAMLETTE et SULLIVAN). Ziegeleigrube von Gan, Zone des *Discoaster lodoensis*.
- Fig. 13 *Micrantholithus attenuatus* BRAMLETTE et SULLIVAN. Mergelfazies von Bos d'Arros.
- Fig. 14 *Micrantholithus* aff. *M. attenuatus* BRAMLETTE et SULLIVAN. Ziegeleigrube von Gan.
- Fig. 15 *Clathrolithus minutus* BRAMLETTE et SULLIVAN, Profil von Gan (Berdoulou), Zone des *Marthasterites tribrachiatus*.

Der in Figur 15 angegebene Maßstab gilt für alle Figuren.

Aufnahmen mit Nomarski-Interferenzkontrast. Objektiv: NPI Öl 100/1,30.

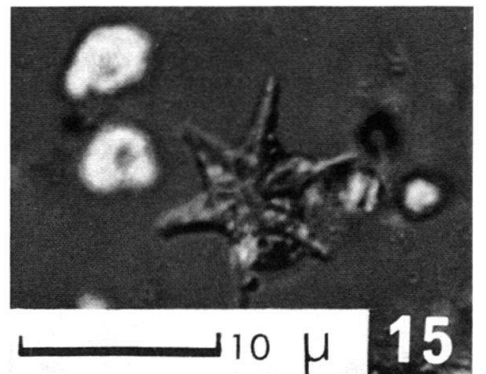
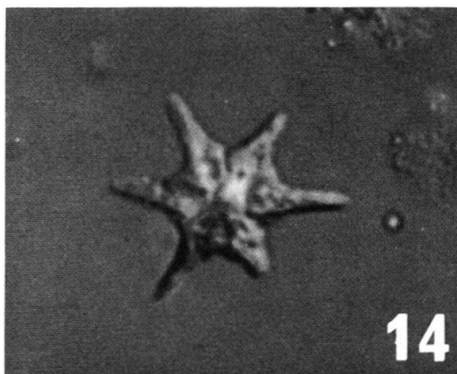
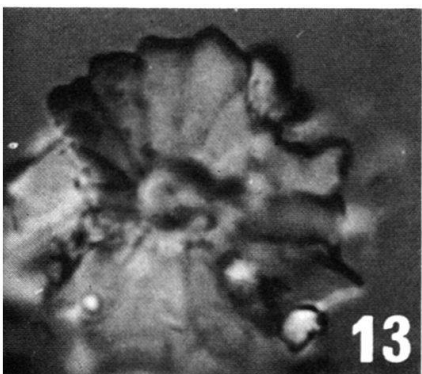
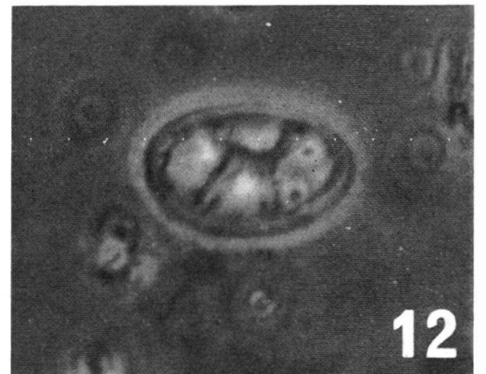
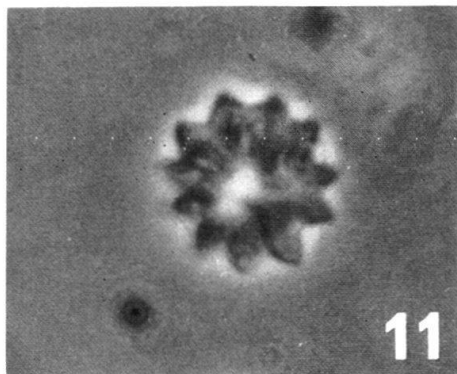
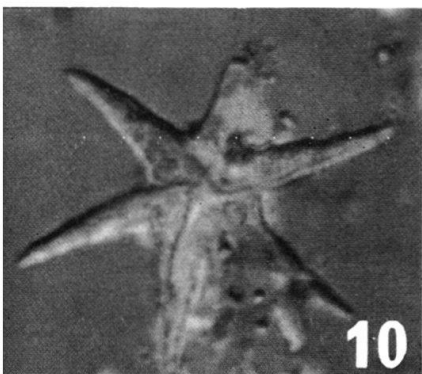
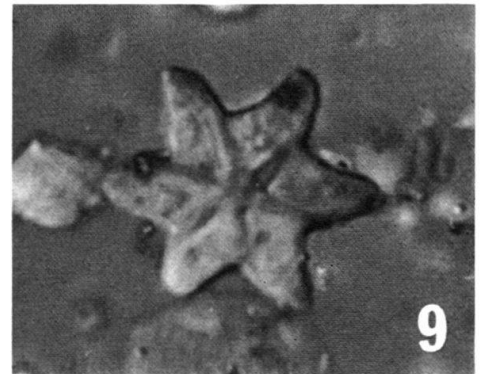
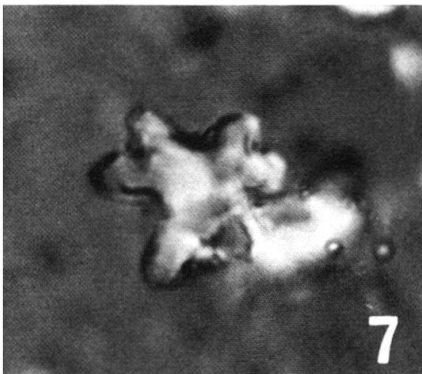
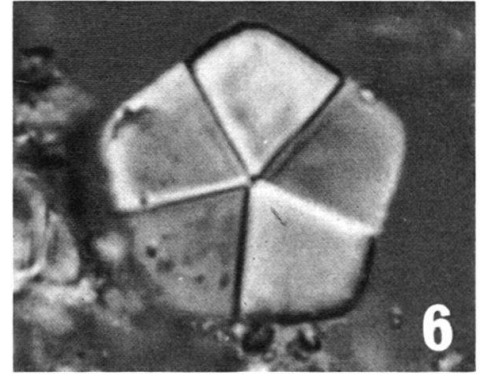
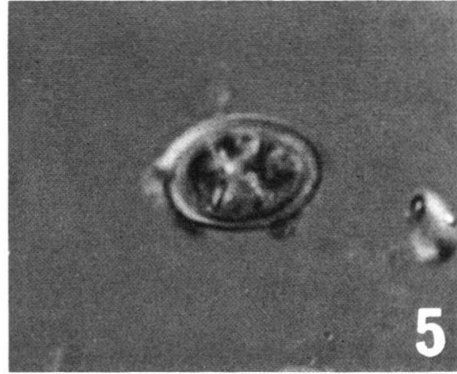
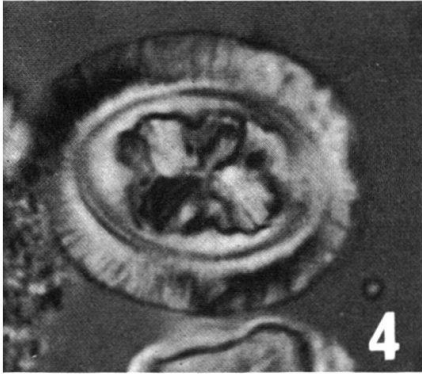
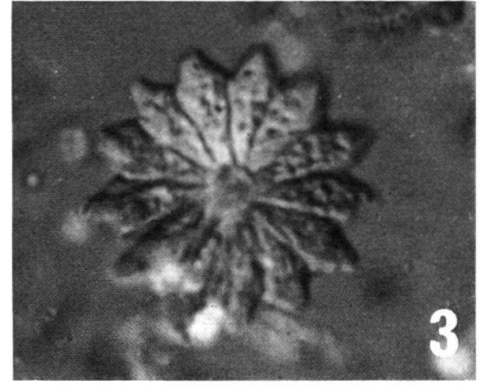
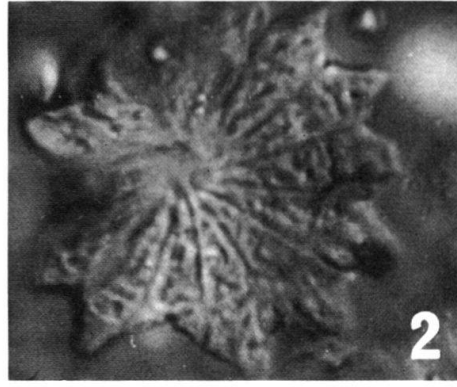
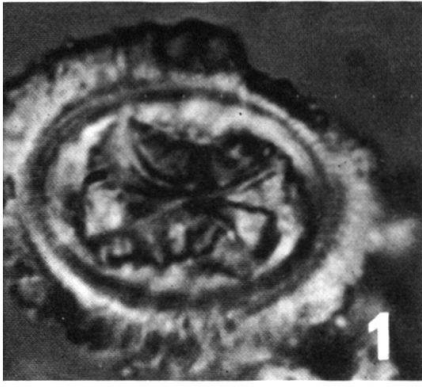


Tafel VI

- Fig. 1, 4 *Chiasmolithus grandis* (BRAMLETTE et RIEDEL). Figur 1: Profil von Campo, Proben CK 31–19, Zone des *Discoaster sublodoensis*; Fig. 4: Ziegeleigrube von Biron, Zone des *Chiphragmalithus quadratus*.
- Fig. 2, 3 *Discoaster barbadiensis* TAN SIN HOK. Fig. 2: Profil von Campo, Probe CK 84–101–44–51, Zone des *Marthasterites tribrachiatus*.
- Fig. 5 *Neococcolithes protenus* (BRAMLETTE et SULLIVAN). Profil von Campo, Probe CK 66–68, Zone des *Marthasterites contortus*.
- Fig. 6 *Braarudosphaera bigelowi* (GRAN et BRAARUD). Profil von Tresp, Probe CK 117–109, Zone des *Discoaster binodosus*.
- Fig. 7 *Marthasterites contortus* (STRADNER). Profil von Tresp, Probe CK 112–116. Zone der *Alveolina ellipsoidal*s.
- Fig. 8 *Transversopontis pulcher* (DEFLANDRE). Profil von Campo, Probe CK 84–101–44–51, Zone des *Marthasterites tribrachiatus*.
- Fig. 9, 10 *Discoaster lodoensis* BRAMLETTE et RIEDEL. Figur 9: Mergelfazies von Bos d'Arros, Zone des *Discoaster lodoensis*; Figur 10: Profil von Campo, Probe CK 43–32, Zone des *Discoaster lodoensis*.
- Fig. 11 *Discoaster mohleri* BUKRY et PERCIVAL. Profil von Tresp, Probe CK 117–109, Zone des *Discoaster binodosus*.
- Fig. 12 *Neococcolithes dubius* (DEFLANDRE). Profil von Gan, Zone des *Discoaster lodoensis*.
- Fig. 13 *Discoaster diastypus* BRAMLETTE et SULLIVAN. Profil von Tresp, Probe CK 115, Zone des *Marthasterites contortus*.
- Fig. 14, 15 *Discoaster sublodoensis* BRAMLETTE et SULLIVAN. Profil von Campo, Probe CK 31–19, Zone des *Discoaster sublodoensis*.

Aufnahmen mit Nomarski-Interferenzkontrast. Objektiv: NPI ÖI 100/1,30. Figuren 8, 11, 12: Phasenkontrast.

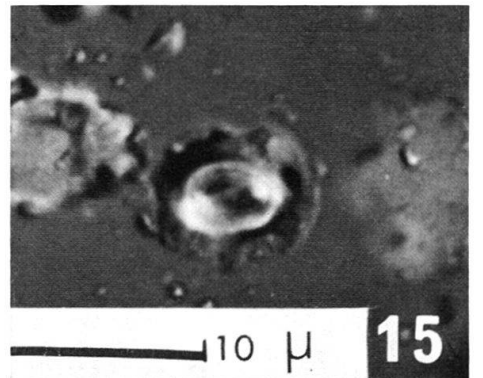
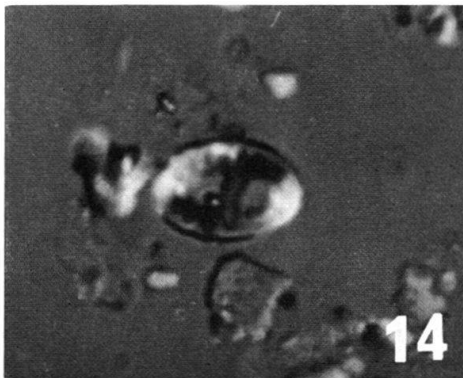
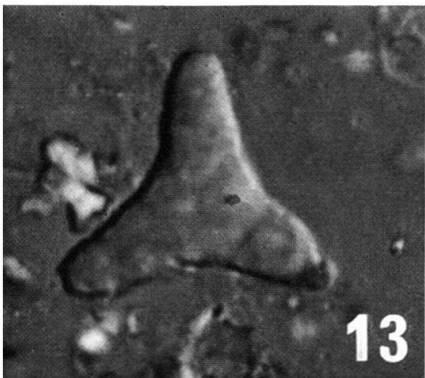
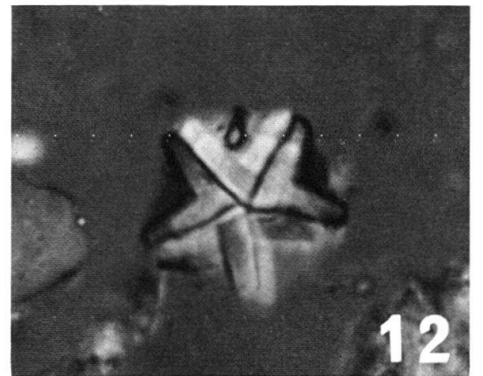
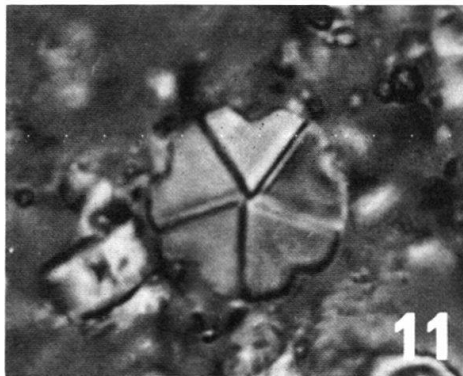
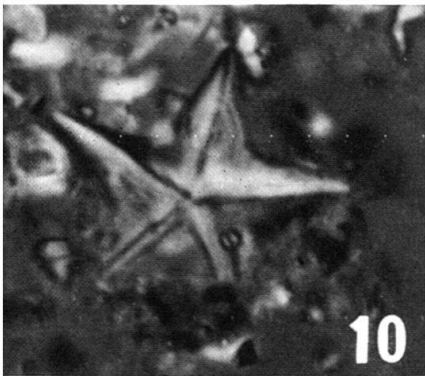
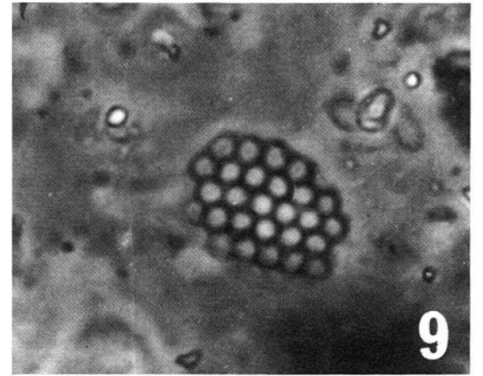
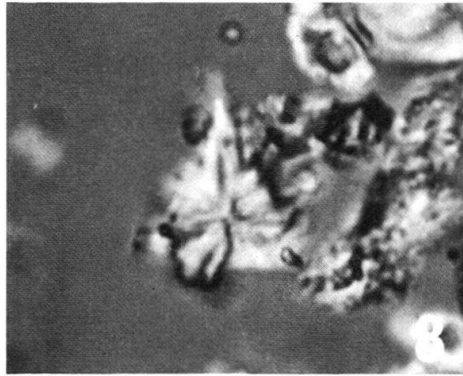
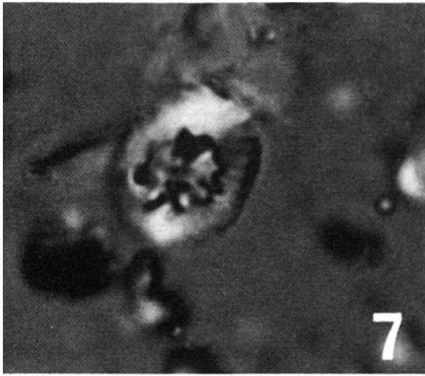
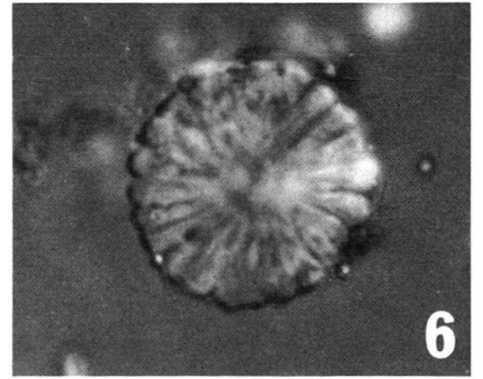
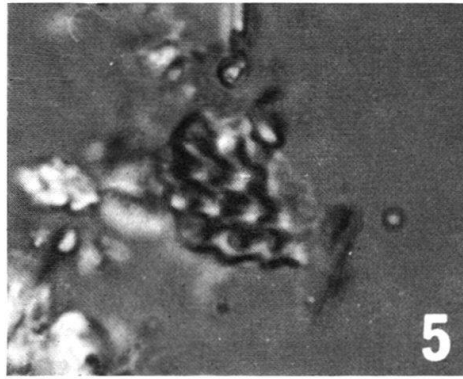
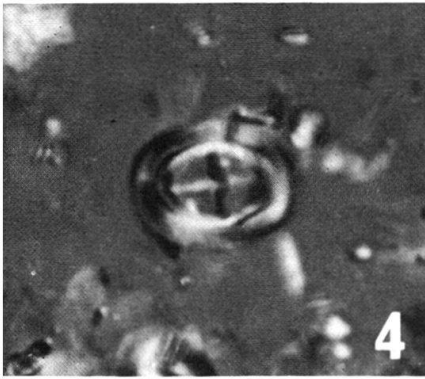
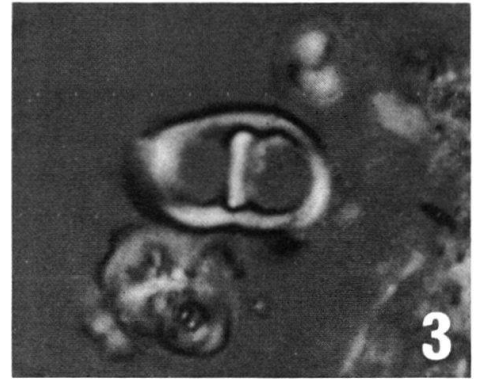
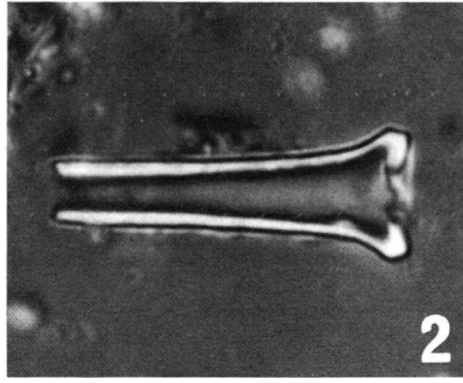
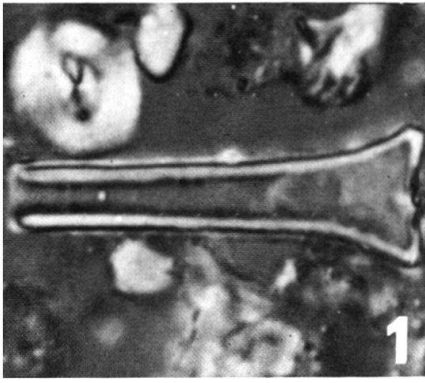
Phasenkontrastaufnahmen der Tafeln VI bis X mit «Wild M 20», Objektiv Fluctar HI 100 Ph, okular 15* Phot.



Tafel VII

- Fig. 1, 2 *Scyphosphaera tubicena* STRADNER. Profil von Gan (Berdoulou), Zone des *Marthasterites tribrachiatus*.
- Fig. 3 *Lophodolithus reniformis* BRAMLETTE et SULLIVAN. Profil von Gan (Berdoulou), Zone des *Marthasterites tribrachiatus*.
- Fig. 4 *Campylosphaera dela* (BRAMLETTE et SULLIVAN). Profil von Gan, Zone des *Discoaster lodoensis*.
- Fig. 5 *Clathrolithus ellipticus* DEFLANDRE. Aufschluss bei Orignac (Hautes Pyrénées), Zone des *Marthasterites tribrachiatus*.
- Fig. 6 *Discoaster multiradiatus* BRAMLETTE et RIEDEL. Profil von Campo, Probe CK 56–65, Zone des *Discoaster multiradiatus*.
- Fig. 7 *Toweius craticulus* HAY et MOHLER. Profil von Campo, Probe CK 66–68, Zone des *Marthasterites contortus*.
- Fig. 8 *Sphenolithus radians* DEFLANDRE. Aufschluss bei Orignac, Zone des *Marthasterites tribrachiatus*.
- Fig. 9 *Clathrolithus minutus* BRAMLETTE et SULLIVAN. Profil von Gan, Zone des *Discoaster lodoensis*.
- Fig. 10 *Micrantholithus vesper* DEFLANDRE. Profil von Campo, Probe CK 43–32, Zone des *Discoaster lodoensis*.
- Fig. 11 *Micrantholithus procerus* BUKRY et BRAMLETTE, Profil von Gan, Zone des *Discoaster lodoensis*.
- Fig. 12 *Micrantholithus flos* DEFLANDRE. Profil von Gan (Berdoulou), Zone des *Marthasterites tribrachiatus*.
- Fig. 13 *Marthasterites robustus* (STRADNER). Profil von Tremp, Probe CK 128–107, Zone des *Marthasterites tribrachiatus*.
- Fig. 14 *Transversopontis pulcher* (DEFLANDRE). Aufschluss bei Orignac, Zone des *Marthasterites tribrachiatus*.
- Fig. 15 *Coccolithus cavus* HAY et MOHLER. Profil von Tremp, Probe CK 115, Zone des *Marthasterites contortus*.

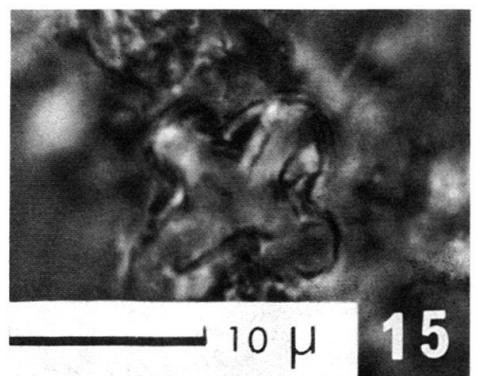
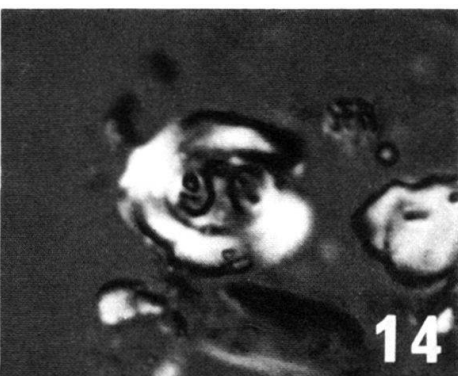
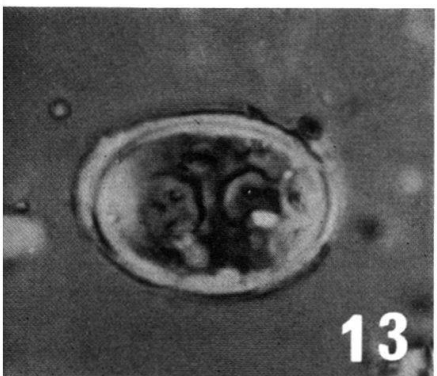
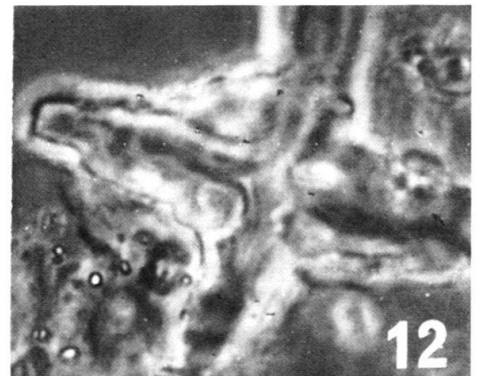
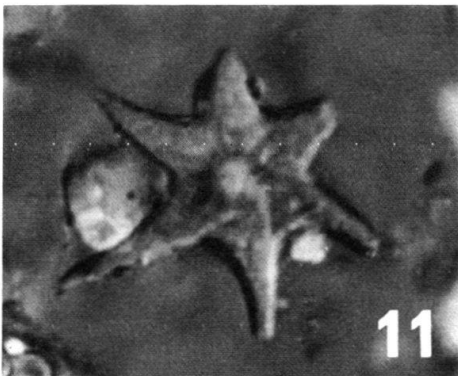
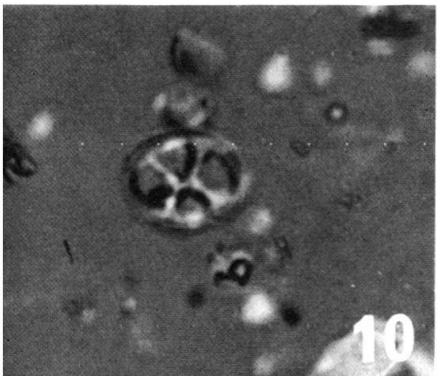
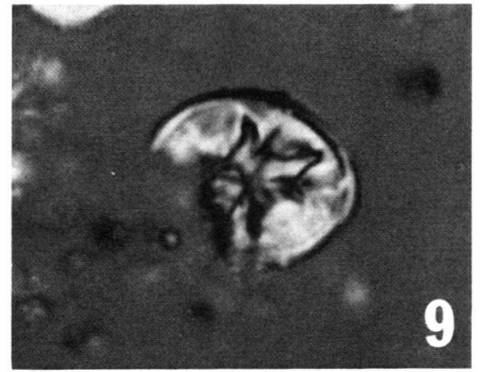
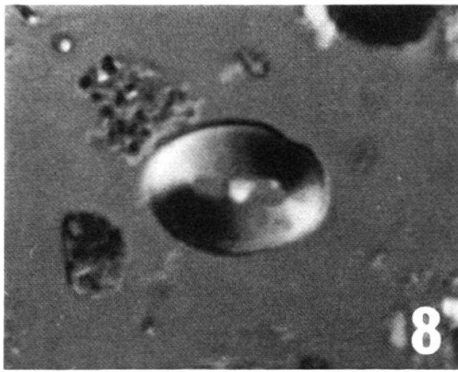
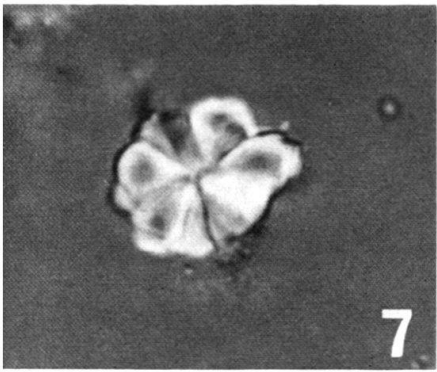
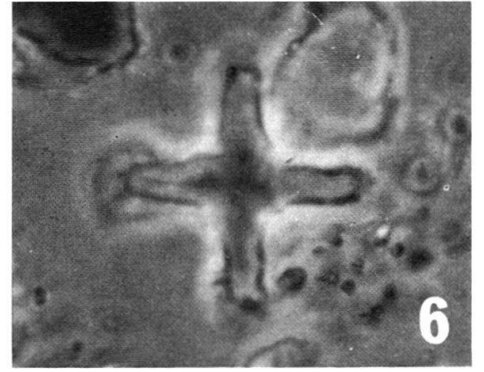
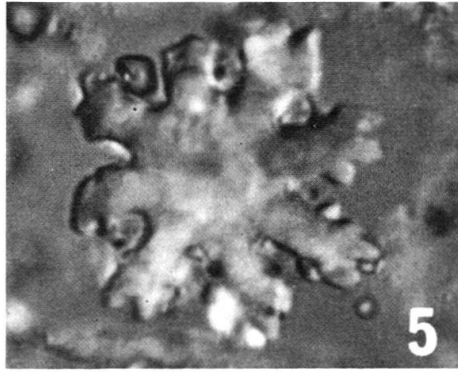
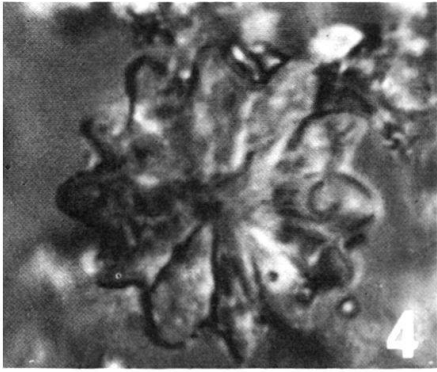
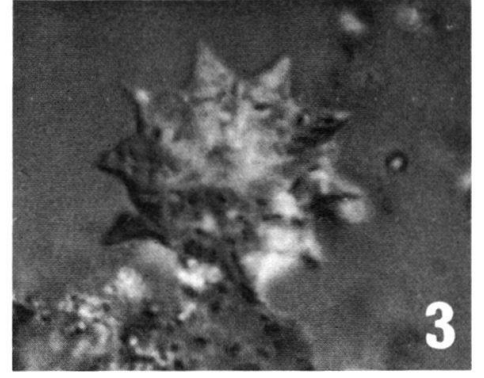
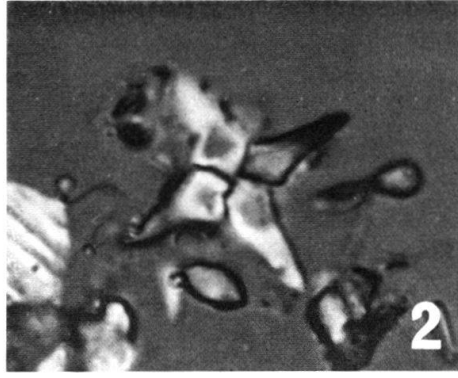
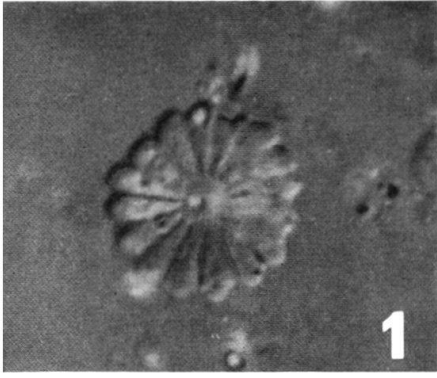
Aufnahmen mit Nomarski-Interferenzkontrast. Objektiv: NPI-Öl 100/1,30. Figur 9: Phasenkontrast.



Tafel VIII

- Fig. 1 *Discoaster multiradiatus* BRAMLETTE et RIEDEL. Profil von Tresp, Probe CK 110, Zone des *Discoaster multiradiatus*.
- Fig. 2 *Tetralithus nitidus* MARTINI. Profil von Campo, Probe CK 84–101–44–51, Zone des *Marthasterites tribrachiatus* (aufgearbeitet).
- Fig. 3, 4 *Discoaster barbadiensis* TAN SIN HOK. Ziegeleigrube von Biron, Zone des *Chiphragmalithus quadratus*.
- Fig. 5 *Discoaster distinctus* MARTINI. Aufschluss bei Orignac, Zone des *Marthasterites tribrachiatus*.
- Fig. 6 *Discoaster cruciformis* MARTINI. Profil von Gan, Zone des *Discoaster lodoensis*.
- Fig. 7 *Fasciculithus tympaniformis* HAY et MOHLER. Profil von Campo, Probe CK 56–65, Zone des *Discoaster multiradiatus*.
- Fig. 8 *Discolithina ocellata* (BRAMLETTE et SULLIVAN). Mergelfazies von Bos d'Arros, Zone des *Discoaster lodoensis*.
- Fig. 9 *Zygrhablithus bijugatus* (DEFLANDRE). Mergelfazies von Bos d'Arros, Zone des *Discoaster lodoensis*.
- Fig. 10 *Neococcolithes protenus* (BRAMLETTE et SULLIVAN). Profil von Campo, Probe CK 84–101–44–51, Zone des *Marthasterites tribrachiatus*.
- Fig. 11 *Discoaster lodoensis* BRAMLETTE et RIEDEL. Profil von Tresp, Probe CK 128–107, Zone des *Marthasterites tribrachiatus*.
- Fig. 12, 15 *Chiphragmalithus quadratus* BRAMLETTE et SULLIVAN. Figur 12: Ziegeleigrube von Biron, Zone des *Chiphragmalithus quadratus*; Figur 15: Profil von Campo, Aufschlüsse bei Perarúa mit *Assilina major*, Zone des *Chiphragmalithus quadratus*.
- Fig. 13 *Discolithina* sp. Aufschluss bei Orignac, Zone des *Marthasterites tribrachiatus*.
- Fig. 14 *Transversopontis* sp. Profil von Campo, Probe CK 69–83, Zone des *Discoaster binodosus*.

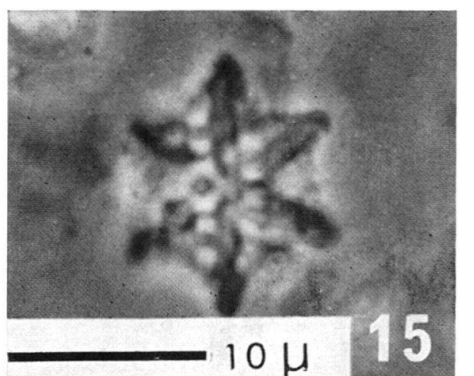
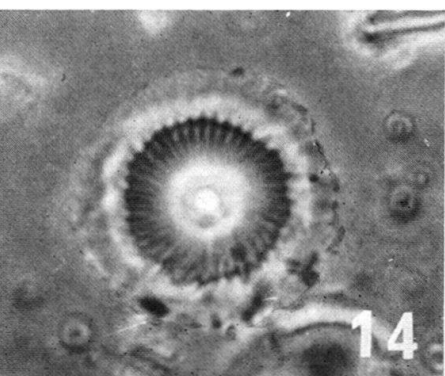
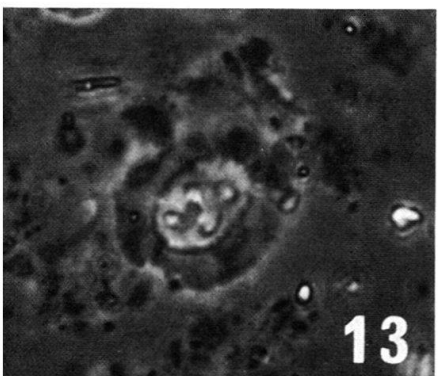
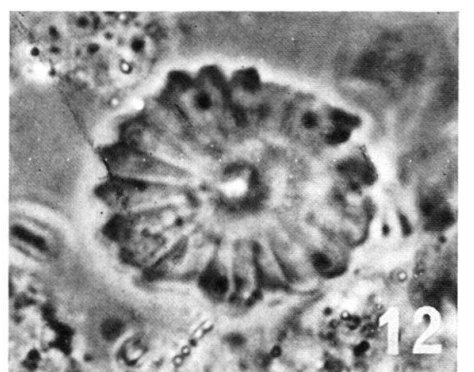
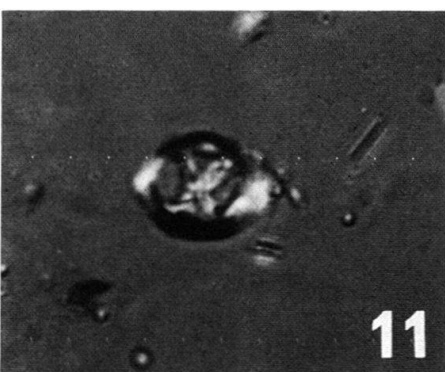
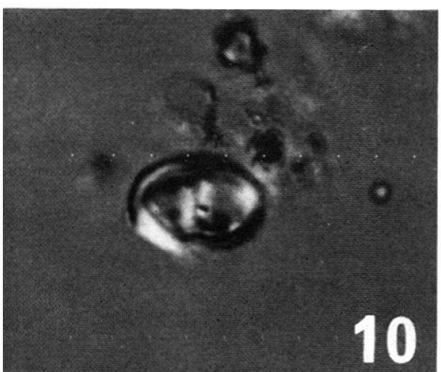
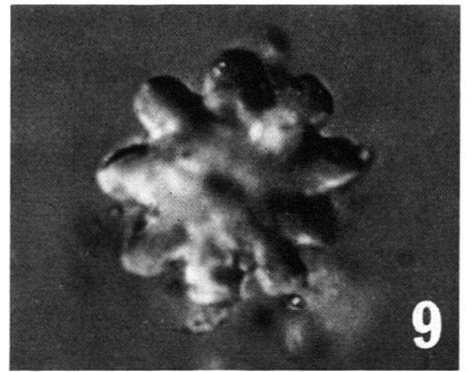
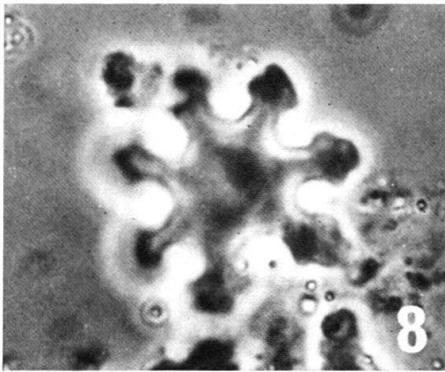
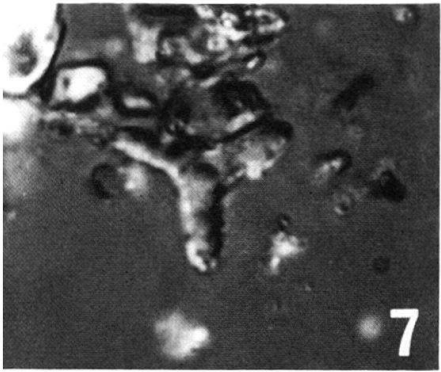
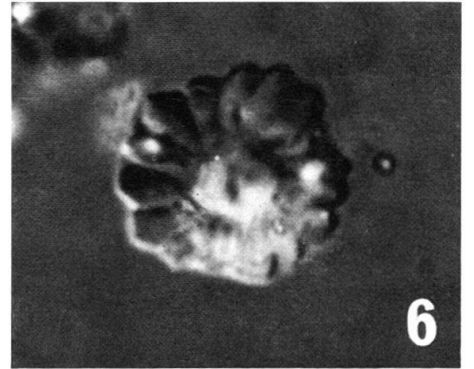
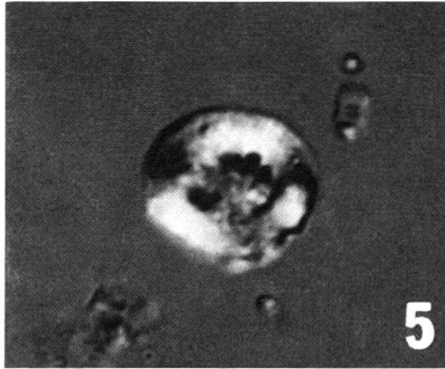
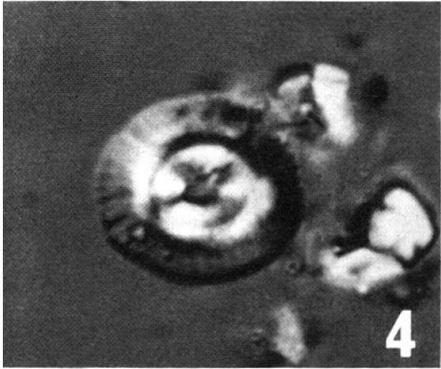
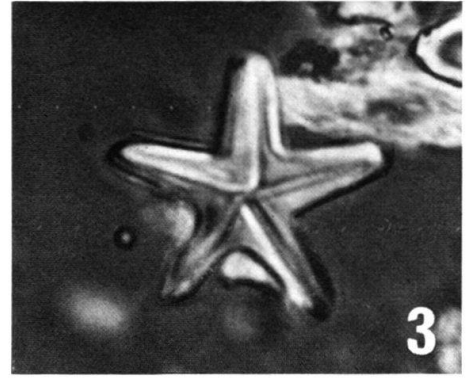
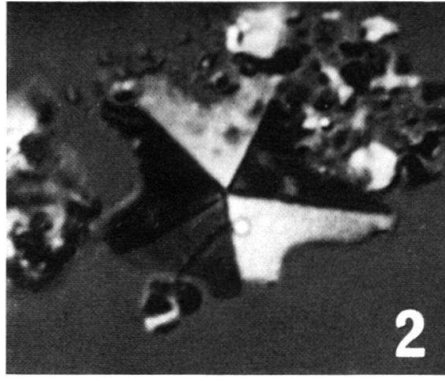
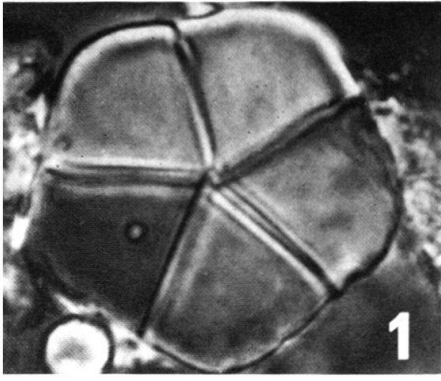
Aufnahmen mit Nomarski-Interferenzkontrast. Objektiv: NPI-Öl 100/1,30. Figuren 6, 12: Phasenkontrast.



Tafel IX

- Fig. 1 *Braarudosphaera bigelowi* (GRAN et BRAARUD). Profil von Coustouge (Corbières), Probe CK 146–150, Zone des *Discoaster binodosus*.
- Fig. 2 *Micrantholithus vesper* DEFLANDRE. Profil von Gan (Berdoulou), Zone des *Marthasterites tribrachiatus*.
- Fig. 3 *Micrantholithus* aff. *M. attenuatus* BRAMLETTE et SULLIVAN. Mergelfazies von Bos d'Arros, Zone des *Discoaster lodoensis*.
- Fig. 4 *Coccolithus cavus* HAY et MOHLER. Profil von Campo, Probe CK 56–65, Zone des *Discoaster multiradiatus*.
- Fig. 5 *Toweius craticulus* HAY et MOHLER. Profil von Tresp, Probe CK 112–116, Zone des *Marthasterites contortus*.
- Fig. 6 *Discoaster diastypus* BRAMLETTE et SULLIVAN. Profil von Campo, Probe CK 66–68, Zone des *Marthasterites contortus*.
- Fig. 7 *Marthasterites tribrachiatus* (BRAMLETTE et RIEDEL). Profil von Campo, Probe CK 84–101–44–51, Zone des *Marthasterites tribrachiatus*.
- Fig. 8, 9 *Discoaster binodosus* MARTINI. Profil von Campo, Probe CK 69–83, Zone des *Discoaster binodosus*.
- Fig. 10 *Zygodiscus adamas* BRAMLETTE et SULLIVAN. Profil von Campo, Probe CK 52–54, Zone des *Heliolithus riedeli*.
- Fig. 11 *Neococcolithus protenus* (BRAMLETTE et SULLIVAN). Profil von Tresp, Probe CK 110–111, Zone des *Discoaster multiradiatus*.
- Fig. 12 *Discoaster multiradiatus* BRAMLETTE et RIEDEL. Aufschluss bei Orignac (Steinbruch), Zone des *Discoaster multiradiatus*.
- Fig. 13 *Cruciplacolithus tenuis* (STRADNER). Profil von Campo, Probe CK 56–65, Zone des *Discoaster multiradiatus*.
- Fig. 14 *Heliolithus kleinPELLI* SULLIVAN. Profil von Campo, Probe CK 56–65, Zone des *Discoaster multiradiatus*.
- Fig. 15 *Trochoaster simplex* KLUMPP. Profil von Gan, Ziegeleigrube, Zone des *Discoaster lodoensis*.

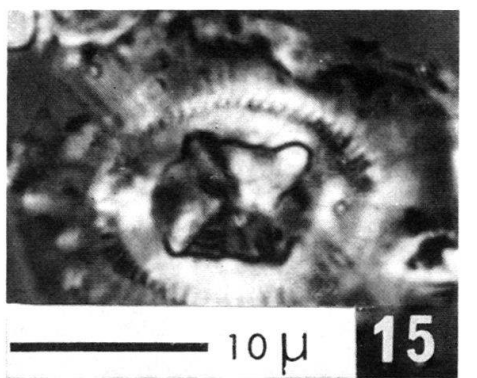
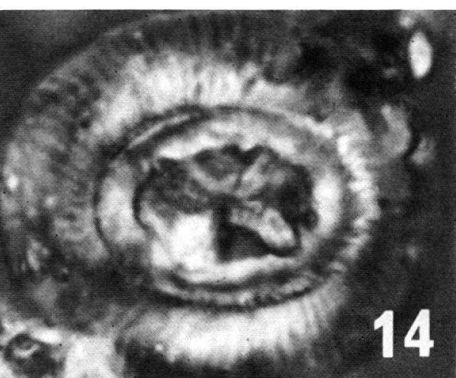
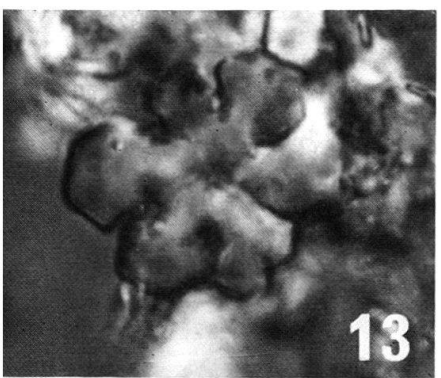
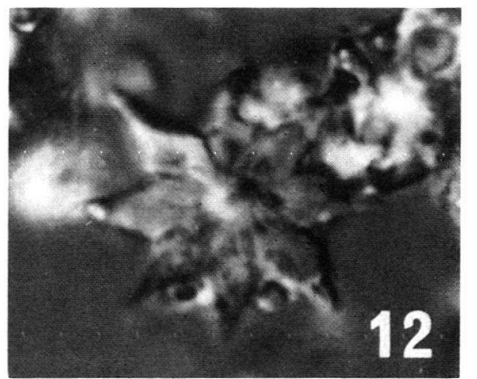
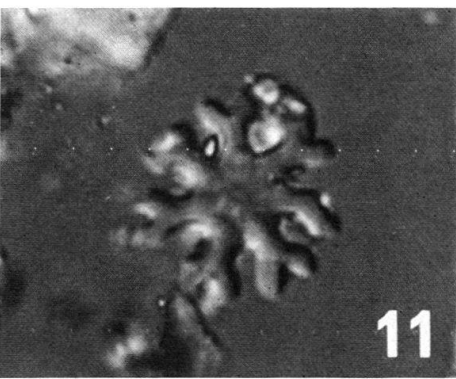
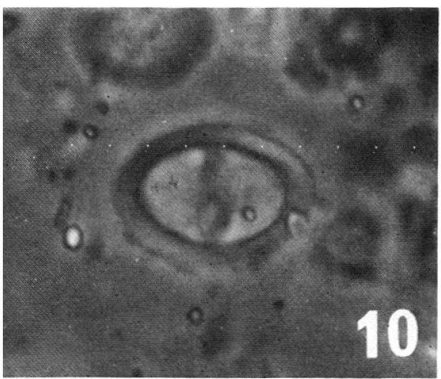
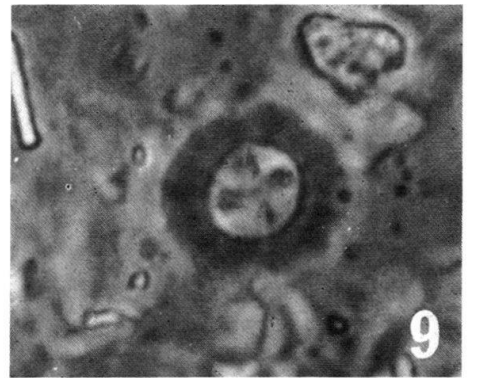
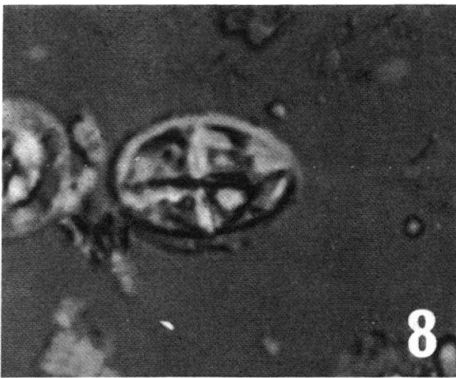
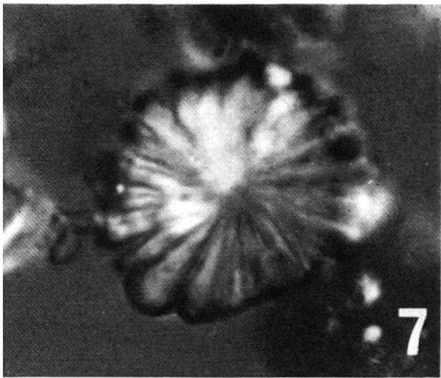
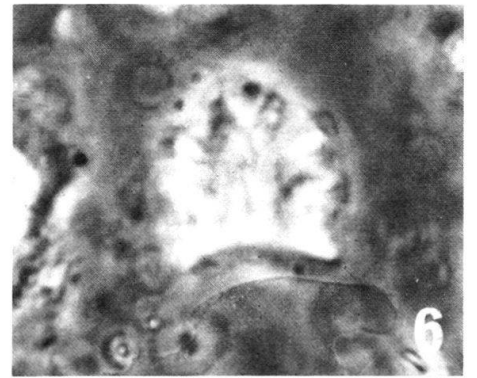
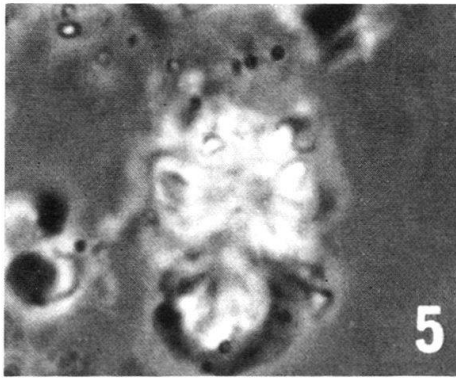
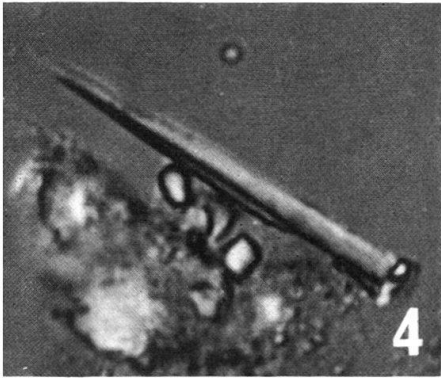
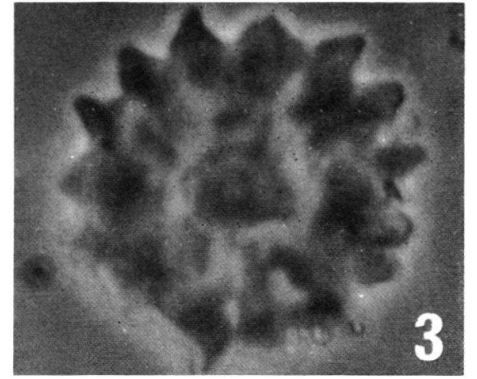
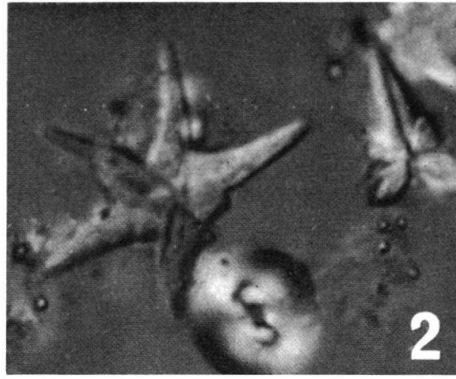
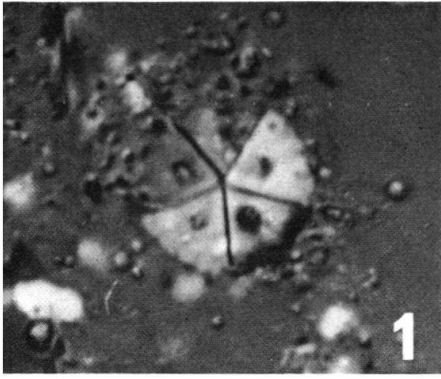
Aufnahmen mit Nomarski-Interferenzkontrast. Objektiv: NPI-Öl 100/1,30. Figuren 8, 12, 14, 15: Phasenkontrast.



Tafel X

- Fig. 1 *Pemma serratum* (CHANG). Profil von Campo, Probe CK 43–32, Zone des *Discoaster lodoensis*.
- Fig. 2 *Discoaster lodoensis* BRAMLETTE et RIEDEL. Profil von Campo, Probe CK 43–32, Zone des *Discoaster lodoensis*.
- Fig. 3 *Discoaster diastypus* BRAMLETTE et SULLIVAN. Profil von Campo, Probe CK 66–68, Zone des *Marthasterites contortus*.
- Fig. 4 *Blackites creber* (DEFLANDRE). Profil von Campo, Probe CK 43–32, Zone des *Discoaster lodoensis*.
- Fig. 5, 6 *Fasciculithus involutus* BRAMLETTE et SULLIVAN. Profil von Campo, Probe CK 56–65, Zone des *Discoaster multiradiatus*.
- Fig. 7 *Discoaster multiradiatus* BRAMLETTE et RIEDEL. Profil von Tresp, Probe CK 110–111, Zone des *Discoaster multiradiatus*.
- Fig. 8 *Arkhangelskiella cymbiformis* VEKSHINA, Ziegeleigrube von Biron, aufgearbeitet in der Zone des *Chiphragmalithus quadratus*.
- Fig. 9 *Prediscosphaera certacea* (ARKHANGELSKY). Ziegeleigrube von Biron, aufgearbeitet in der Zone des *Chiphragmalithus quadratus*.
- Fig. 10 *Zygodiscus sigmoides* BRAMLETTE et SULLIVAN. Profil von Tresp, Probe CK 110–111, Zone des *Discoaster multiradiatus*.
- Fig. 11, 13 *Discoaster deflandrei*, BRAMLETTE et RIEDEL. Figur 11: Steinbruch Lassale, Cahurt, unteres Adourgebiet, Zone des *Chiphragmalithus quadratus*; Figur 13: Profil von Campo, Probe CK 43–32, Zone des *Discoaster lodoensis*.
- Fig. 12 *Discoaster saipanensis* BRAMLETTE et RIEDEL. Steinbruch Lassale, Cahurt, unteres Adourgebiet, Zone des *Chiphragmalithus quadratus*.
- Fig. 14, 15 *Chiasmolithus gigas* (BRAMLETTE et SULLIVAN). Steinbruch Lassale, Cahurt, unteres Adourgebiet, Zone des *Chiphragmalithus quadratus*.

Aufnahmen mit Nomarski-Interferenzkontrast. Objektiv: NPI-Öl 100/1,30. Figuren 3, 5, 6, 9, 10: Phasenkontrast.



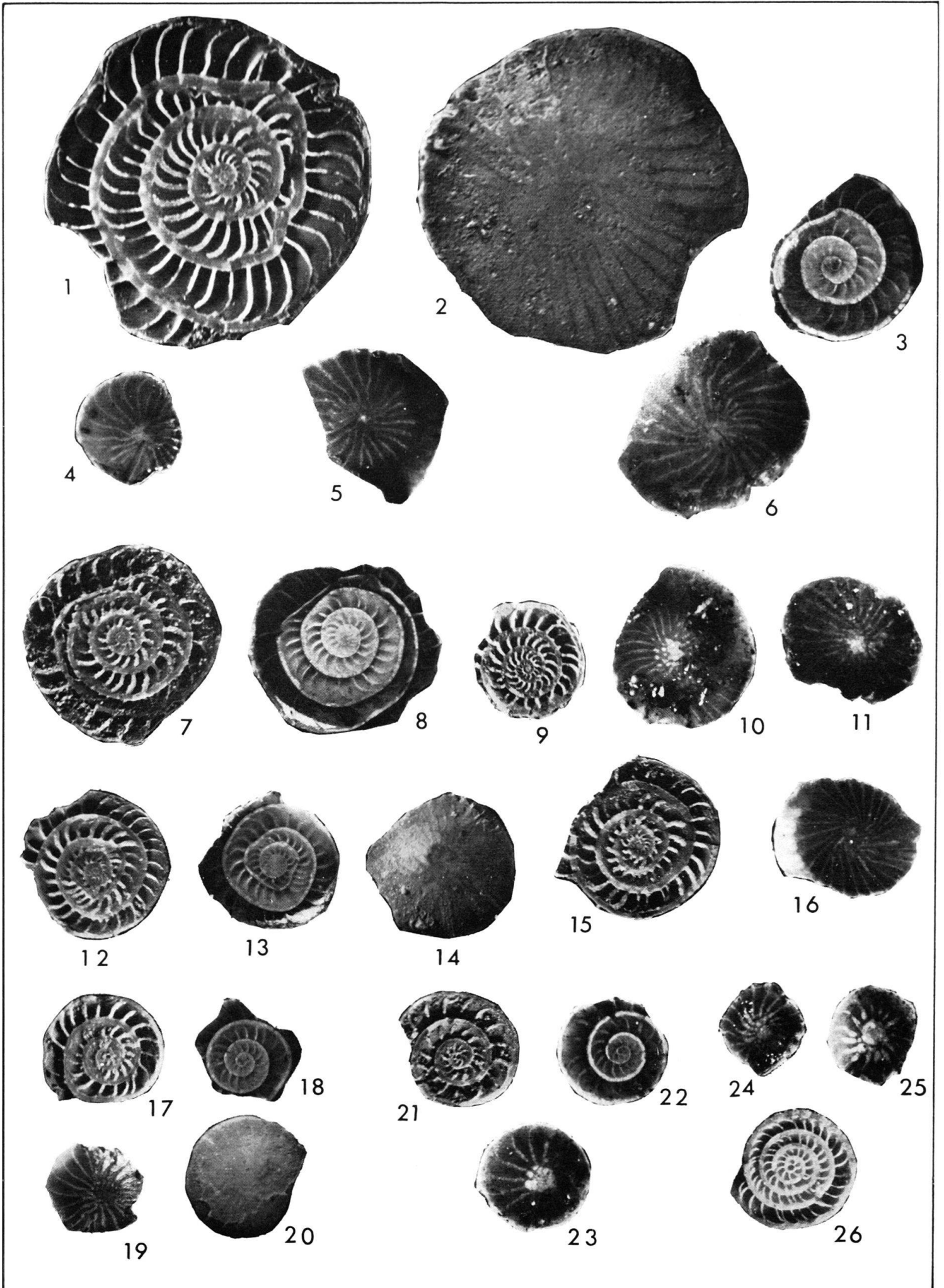
Tafel XI

Figuren 1–25: Nummuliten aus den «Marnes à Discocyclines» (Zone des *Discoaster multiradiatus*, unteres Ilerdien) aus dem Profil des Pont de Louer, auf dem linken Ufer des Louts, Gemeinde Gamarde, Landes.

- Fig. 1–6 *Nummulites* nov. sp., aff. *fraasi*
Fig. 1 B-Form, Äquatorialschnitt. Septen durch Kalzitüberzug, teilweise sekundär verdickt. Nr. C 28336/1.
Fig. 2 B-Form, Oberfläche des gleichen Exemplars.
Fig. 3 A-Form, Äquatorialschnitt, in Kanadabalsam, Nr. C 28337/5.
Fig. 4 A-Form, Oberfläche in Kanadabalsam, Nr. C 28337/3.
Fig. 5 A-Form, Oberfläche des gleichen Exemplars, in Kanadabalsam.
Fig. 6 A-Form, Oberfläche in Kanadabalsam, Nr. C 28337/1.
Fig. 7–23 *Nummulites gamardensis* nov. sp.
Fig. 7 B-Form, Holotypus, Äquatorialschnitt, Septen durch Kalzit sekundär verdickt. Nr. C 28334/6.
Fig. 8 B-Form. Andere Hälfte des gleichen Exemplars. Die Einbettung in Kanadabalsam lässt die ursprüngliche Septenform sichtbar werden.
Fig. 9 B-Form, Äquatorialschnitt, Nr. C 28334/3.
Fig. 10 B-Form, Oberfläche in Kanadabalsam. Nr. C 28334/4.
Fig. 11 B-Form, Oberfläche in Kanadabalsam, Nr. C 28340/7.
Fig. 12 B-Form, Äquatorialschnitt Nr. C 28340/3.
Fig. 13 B-Form, andere Hälfte des gleichen Exemplars in Kanadabalsam.
Fig. 14 B-Form, Oberfläche des gleichen Exemplars.
Fig. 15 B-Form, Äquatorialschnitt Nr. C 28340/4.
Fig. 16 B-Form, Oberfläche in Kanadabalsam, Nr. C 28340/2.
Fig. 17 A-Form, Äquatorialschnitt Nr. C 28341/7.
Fig. 18 A-Form, andere Hälfte des gleichen Exemplars in Kanadabalsam.
Fig. 19–20 Oberfläche des gleichen Exemplars. Figur 20 ganz, Figur 19 ohne den letzten Umgang, in Kanadabalsam.
Fig. 21–22 A-Form, Äquatorialschnitt der beiden Hälften des gleichen Exemplars, Figuren 21 trocken, Figur 22 in Kanadabalsam. Nr. C 28341/12.
Fig. 23 A-Form, Oberfläche zur Hälfte von Figur 22.
Fig. 24–25 *Nummulites* aff. *gamardensis* n. sp.
Fig. 24 A-Form, Oberfläche in Kanadabalsam, Nr. C 28341/4.
Fig. 25 A-Form, Oberfläche in Kanadabalsam, Nr. C 28341/1.
Fig. 26 *Nummulites deserti* DE LA HARPE, 1883
A-Form von El Quss Abû Saïd, Oase Farafrah, Libysche Wüste, Ägypten. Unteres Ilerdien, zum Vergleich, Nr. C 5701/27.

Alle 10 × .

Alle abgebildeten Exemplare: Sammlung H. SCHAUB, Naturhistorisches Museum, Basel.

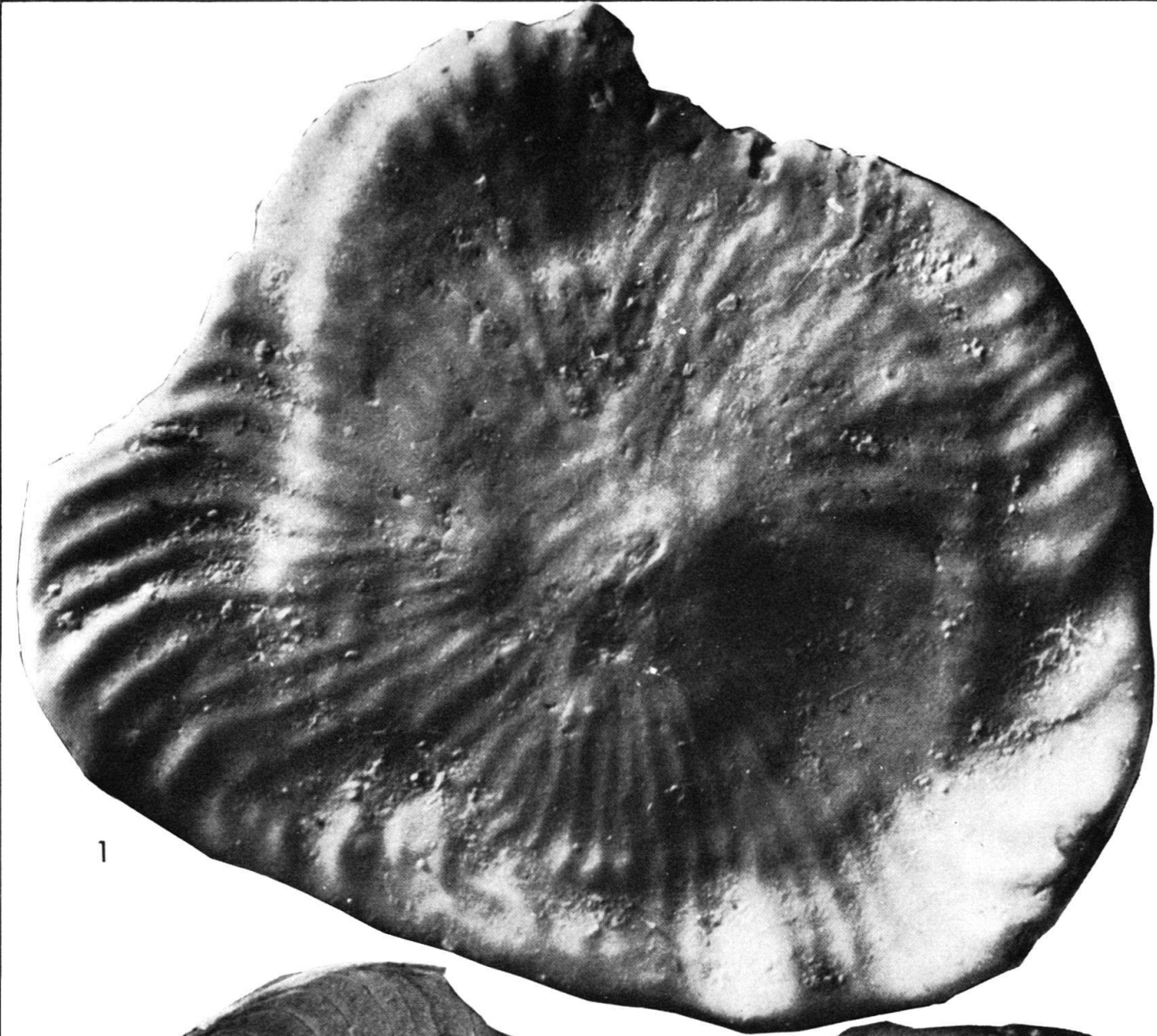


Tafel XII

- Fig. 1–2 *Nummulites* aff. *irregularis* DESHAYES, B-Form, aus dem unteren Untercoisien der Mergelgrube Sourbé in der Gemeinde Horsarrieu (Landes). Figur 1: Typische Oberfläche eines ganzen Exemplars, Nr. C 28 300/3. Figur 2: Äquatorialschnitt (Kanadabalsam). Innere Windungen eines etwa gleich grossen Exemplars. Nr. C 28 300/1.
- Fig. 3 *Nummulites irregularis* DESHAYES, B-Form, aus den Mergeln von Bos d'Arros (Pyrénées atlantiques). Innere Windungen eines grösseren Exemplars aus der Sammlung DE LA HARPE, von DE LA HARPE als *N. purchisoni* BRUNNER bezeichnet. Nr. 4279.

Alle 10 × .

Die Exemplare der Figuren 1 und 2 in der Sammlung H. SCHAUB im Naturhistorischen Museum Basel. Das Exemplar von Figur 3 in der Sammlung DE LA HARPE, Lausanne.



1



2



3

Tafel XIII

- Fig. 1–2 *Nummulites* aff. *irregularis* DESHAYES, A-Form, aus dem unteren Untercaisien der Mergelgrube von Sourbé in Horsarrieu (Landes), Äquatorialschnitte in Kanadabalsam, zeigen die kleineren Dimensionen (verglichen mit Fig. 3–7). Figur 1 mit relativ grosser Megalosphäre. Nr. C 28301/2. Figur 2 mit kleiner Anfangskammer, Septen teilweise durch Parasiten beschädigt. Nr. C 28301/1.
- Fig. 3–5 *Nummulites irregularis* DESHAYES, 1838, A-Form, aus dem oberen Untercaisien der Tuilerie von Gan (Pyrénées atlantiques), Äquatorialschnitte. Figur 3 Nr. C 8841/21. Figur 4 Nr. C 8841/9. Figur 5 Nr. C 8841/17.
- Fig. 6–7 *Nummulites major* DE LA HARPE, 1883, A-Form, aus dem unteren Lutétien der Chalosse de Montfort, Äquatorialschnitte, zeigen die wesentlich grösseren Dimensionen. Die Septen wirken durch sekundären Kalzitbelag etwas gröber, als sie wirklich sind. Figur 6 von der Typlokalität Bastennes, Nr. C 8833/1. Figur 7 aus dem unteren Steinbruch von Sarthou, Bastennes, Nr. C 8829/5.

Alle 10 × .

Alle abgebildeten Exemplare in der Sammlung H. SCHAUB im Naturhistorischen Museum Basel.

